



SKRIPSI - ME 141501

**ANALISA PERUBAHAN WARNA HSV PADA  
PENGOLAHAN CITRA TERHADAP INTENSITAS  
CAHAYA SEBAGAI DASAR PENERAPAN MASUKAN  
KONTROL *AUTOMATIC STACKING CRANE***

MUHAMMAD BAHRU SHOLAHUDDIN  
NRP 4213 100 077

Dosen Pembimbing  
Dr. Ir. A. A. Masroeri, M. Eng  
Juniarko Prananda, S.T., M.T.

DEPARTEMEN TEKNIK SISTEM PERKAPALAN  
Fakultas Teknologi Kelautan  
Institut Teknologi Sepuluh Nopember  
Surabaya  
2017

*Halaman ini sengaja dikosongkan.*



**FINAL PROJECT - ME 141501**

# **ANALYSIS OF HSV COLOR MODEL CHANGE IN IMAGE PROCESSING TOWARD LIGHT INTENSITY AS BASIC OF CONTROL INPUT IN AUTOMATIC STACKING CRANE**

**MUHAMMAD BAHRU SHOLAHUDDIN**  
NRP 4213 100 077

Advisor Lecturer  
Dr. Ir. A. A. Masroeri, M. Eng  
Juniarko Prananda, S.T., M.T.

DEPARTMENT OF MARINE ENGINEERING  
Faculty of Marine Technology  
Institut Teknologi Sepuluh Nopember  
Surabaya  
2017

*Halaman ini sengaja dikosongkan.*

## LEMBAR PENGESAHAN

# ANALISA PERUBAHAN WARNA HSV PADA PENGOLAHAN CITRA TERHADAP INTENSITAS CAHAYA SEBAGAI DASAR PENERAPAN MASUKAN KONTROL *AUTOMATIC STACKING CRANE*

## TUGAS AKHIR

Diajukan Untuk Memenuhi Salah Satu Syarat  
Memperoleh Gelar Sarjana Teknik  
pada

Bidang Studi *Marine Electrical and Automation System (MEAS)*  
Program Studi S-1 Departemen Teknik Sistem Perkapalan  
Fakultas Teknologi Kelautan  
Institut Teknologi Sepuluh Nopember

Oleh:

**Muhammad Bahru Sholahuddin**  
NRP 4213 100 077

Disetujui oleh Pembimbing Tugas Akhir:

1. Dr. Ir. A. A Masroeri, M. Eng
2. Juniarko Prananda, S.T., M.T.

(  )

(  )

SURABAYA  
Juli, 2017

*Halaman ini sengaja dikosongkan.*

## LEMBAR PENGESAHAN

# ANALISA PERUBAHAN WARNA HSV PADA PENGOLAHAN CITRA TERHADAP INTENSITAS CAHAYA SEBAGAI DASAR PENERAPAN MASUKAN KONTROL *AUTOMATIC STACKING CRANE*

### TUGAS AKHIR

Diajukan Untuk Memenuhi Salah Satu Syarat  
Memperoleh Gelar Sarjana Teknik  
pada

Bidang Studi *Marine Electrical and Automation System* (MEAS)  
Program Studi S-1 Departemen Teknik Sistem Perkapalan  
Fakultas Teknologi Kelautan  
Institut Teknologi Sepuluh Nopember

Oleh:

**Muhammad Bahru Sholahuddin**  
NRP 4213 100 077

Disetujui oleh Kepala Departemen Teknik Sistem Perkapalan:



Dr. Eng. M. Badrus Zaman, S.T., M.T.

NIP. 197708022008011007

*Halaman ini sengaja dikosongkan.*



# ANALISA PERUBAHAN WARNA HSV PADA PENGOLAHAN CITRA TERHADAP INTENSITAS CAHAYA SEBAGAI DASAR PENERAPAN MASUKAN KONTROL *AUTOMATIC STACKING CRANE*

**Nama** : Muhammad Bahru Sholahuddin  
**NRP** : 4213 100 077  
**Departemen** : Teknik Sistem Perkapalan  
**Dosen Pembimbing I** : Dr. Ir. A. A. Masroeri, M.Eng  
**Dosen Pembimbing II** : Juniarko Prananda, S.T., M.T.

## Abstrak

Proses dalam penanganan peti kemas diusahakan untuk bekerja secara efisien, handal, dan aman. Hal tersebut dilakukan untuk menekan biaya, dan menghindari resiko. Untuk mendukung tujuan tersebut, baik peralatan maupun proses manajemen yang berkaitan, telah mengalami banyak perkembangan. Salah satu peralatan penting dalam proses ini ialah crane. Saat ini teknologi pada crane peti kemas telah berkembang pesat, misalnya pada Automatic Stacking Crane yang mana hampir seluruh pekerjaan dapat dilakukan secara otomatis. Terdapat berbagai macam cara agar sistem kontrol mampu bekerja otomatis. Dari segi perangkat masukan, untuk mengatur posisi peti kemas saat mendarat ASC ‘konecrane’ menggunakan laser dan untuk mendeteksi *swaying* ataupun *skewing* menggunakan sensor infra-merah. Pada tugas akhir ini ditawarkan cara lain untuk mendeteksi object maupun gerakan pada crane, yaitu menggunakan *computer vision*. Cara ini diperkirakan mampu beroperasi lebih ekonomis, karena dapat bekerja hanya dengan satu perangkat masukan namun mampu bekerja untuk banyak pekerjaan. Namun, agar dapat diterapkan di lapangan, sebagai langkah awal perlu dianalisa terkait kemampuan sistem ini terhadap perubahan cahaya. Karena faktor cahaya merupakan salah satu tantangan dalam dunia *computer vision*, nilai warna obyek akan berubah jika intensitas cahaya yang mengenai obyek tersebut juga berubah. Dari hasil analisa, diketahui bahwa dari perubahan intensitas cahaya terhadap model warna HSV (Hue, Saturation, Value) dalam pengolahan citra, semakin besar nilai intensitas cahaya yang diperoleh sensor kamera maka semakin kecil nilai Saturation, dan semakin besar nilai Value. Hal ini ditunjukkan oleh fungsi  $y = 0.0004885 * e^{(0.06007 * x)}$  yang mana  $x$  merupakan nilai Value (HSV) rata-rata dari seluruh pixel, dan  $y$  merupakan intensitas cahaya. Dan juga fungsi  $y = 0.0000055556 * e^{(0.07802 * (255 - x))}$ , yang mana  $x$  merupakan nilai Saturation (HSV) rata-rata dari seluruh pixel, dan  $y$  merupakan intensitas cahaya. Selain itu pada tugas akhir ini dilakukan simulasi pendeteksian gerakan pada spreader menggunakan pengolahan citra.

**Kata Kunci:** *Automatic Stacking Crane, Image Processing, Computer Vision, Anti-sway, OpenCV, model warna HSV*

*Halaman ini sengaja dikosongkan.*

# **ANALYSIS OF HSV COLOR MODEL CHANGE IN IMAGE PROCESSING TOWARD LIGHT INTENSITY AS BASIC OF CONTROL INPUT IN AUTOMATIC STACKING CRANE**

**Name** : Muhammad Bahru Sholahuddin  
**NRP** : 4213 100 077  
**Department** : Teknik Sistem Perkapalan  
**Advisor Lecturer I** : Dr. Ir. A. A. Masroeri, M.Eng  
**Advisor Lecturer II** : Juniarko Prananda, S.T., M.T.

## **Abstract**

*Container handling process need to be efficient, reliable, and safe. Those should be achieved in order to reduce operating costs and to avoid risks. Supporting those goals, either related equipment or management process has been developed a lot. One of the important tools is crane which used to transferring and stacking the containers. Nowadays crane technology has been developed rapidly, such as Automatic Stacking Crane which most of the job can be done automatically. There are several ways to implement the control system. From the input parameter side, ASC can be equipped with laser for positioning task, and infra-red for sway or skew detector, just as 'konecranes' did in Teluk Lamong. This bachelor thesis proposes another way to get the job, it is by computer vision. This way predicted to be more economics because only with one camera, it can detect many objects and movements. But before this way being brought into reality, there are challenges to solve with, one of them is related to the ambient lightness. The color value that camera see being changed as the light change. From analysis results in this bachelor thesis, when the light intensity increases, Saturation of HSV turns out to be decreases, as Value of HSV being increases. The correlation being approximated with function  $y = 0.0004885 * e^{(0.06007 * x)}$ , which  $y$  is light intensity and  $x$  is average Value of HSV from all pixels. And function  $y = 0.0000055556 * e^{(0.07802 * (255 - x))}$ , which  $y$  is light intensity and  $x$  is average Saturation of HSV from all pixels. This bachelor thesis also provide simulation about how the spreader motion can be detected.*

**Keywords:** Automatic Stacking Crane, Image Processing, Computer Vision, Anti-sway, OpenCV, HSV color model

*Halaman ini sengaja dikosongkan.*

## KATA PENGANTAR

Segala puji penulis panjatkan atas kehadiran Allah SWT yang telah memberikan rahmat, taufik, inayah, serta hidayah-Nya sehingga penulis dapat mengerjakan dan menyelesaikan laporan tugas akhir dengan judul “Analisa Perubahan Warna Hsv Pada Pengolahan Citra Terhadap Intensitas Cahaya Sebagai Dasar Penerapan Masukan Kontrol *Automatic Stacking Crane*”. Sholawat serta salam penulis haturkan kepada nabi Muhammad SAW yang telah menyampaikan risalah-Nya dan menjadi suri tauladan bagi umat.

Dalam penulisan tugas akhir ini, banyak sekali pihak yang telah membantu sehingga penyusunannya bisa selesai. Karena itu, penulis mengucapkan terima kasih kepada:

1. Ibu Luluk Alifah, S. E., Bapak Sohib Romdhoni, S. E., selaku orang tua yang telah banyak berkorban dan senantiasa mendukung anaknya untuk menjadi insan yang lebih baik. Serta saudari Humaida Hafidzah Zahra selaku adik kandung.
2. Bapak Dr. Ir. A. A. Masroeri, M. Eng. selaku dosen pembimbing pertama yang telah bersedia meluangkan waktunya untuk menelaah progress penulis dan memberikan fasilitas untuk mendukung kegiatan belajar.
3. Bapak Juniarko Prananda, S.T., M.T. selaku dosen pembimbing kedua yang telah bersedia meluangkan waktunya untuk berdiskusi.
4. Bapak Ir. Sardono Sarwito, M. Sc. selaku kepala laboratorium Marine Electrical and Automation System yang telah memberikan fasilitas untuk mendukung kegiatan pembelajaran.
5. Bapak Dr. Eng. M. Badrus Zaman, S.T., M.T. selaku Ketua Jurusan Teknik Sistem Perkapalan, Institut Teknologi Sepuluh Nopember dan dosen wali.
6. Mas Arma N selaku teknisi pada *Automatic Crane* Konecranes di Terminal Teluk Lamong, yang telah bersedia diwawancarai.
7. Bapak Rudy Dikairono, S.T., M.T. dan Ir. H. Agoes Santoso, M.Sc., M. Phil selaku pembimbing Barunastra Roboboat dan teman-teman tim Darwin (2013), Eric (2013), Yohan (2013), Anas (2013), Ujang (2013), Eky (2013), Topo (2013) Dwiky (2012), Rahmat (2012), Ghofur (2012), Welderson (2011), dll yang telah membagikan kesan dan pengalaman bersama.
8. Keluarga besar bani H. Achwan Affandi dan H. Abduh Rahman yang telah banyak memberikan dukungan do'a dan motivasi.
9. Para guru, asatidz, dan dosen dari TK sampai S1 yang telah memberikan ilmu dan pengalaman berguna serta do'a dan dukungan.
10. Keluarga K. H. Abdus Syakur dan Drs. Mahmud Musta'in, M. Sc, Ph. D yang telah berkenan memberikan bekal agama selama penulis bertempat di Surabaya.
11. Teman-teman pembimbingan bapak Dr. Ir. A. A. Masroeri, M. Eng dan penghuni NASDEC, Danuja (2013), Mitha (2013), Fathia (2013), Irma (2013), Naufal (2013), Adi (2013), Ali (2013), Libry (2012), dll yang telah memfasilitasi proses percetakan dokumen, diskusi, perbaikan struktur penulisan, pengayaan pustaka, serta berbagi pengalaman dan kesenangan.
12. Teman-teman MEAS, Barakuda, Kontrakan Abah, Uenak, Darussalam Keputih, Blok T-45, Pramuka Purwakirana, Finger Ar-Rahmat, Fighter SMT, Siskal ITS,

Marine Icon, UKM Maritime Challenge, UKM Robotika yang namanya tidak cukup untuk dituliskan satu per satu, dan yang telah mengingatkan, memberikan kesenangan, dukungan dan pengalaman bersama.

13. Mas Muhammad Arif Pradana selaku mentor pada kegiatan kerohanian ITS, beserta teman-teman Bowo (2013), Darori (2013), Ivan (2013), Oky (2013), Yusuf (2013), Faisal (2013), Arief Rahman (2013), Arief Maulana (2013), Kafin (2013), Miranto (2013), Manas (2013), Naufal (2013), Rhama (2013), Rizky (2013), Riko (2013), Bikso (2013), Hamzah F (2013), Heri (2013), Andhy W. (2013), Fatekhun (2013), Ifa (2013), M. A. Ghufroon A. M. (2013) yang telah bersedia untuk berbagi kesenangan dan saling mengingatkan baik dalam urusan agama maupun penugasan akademik.
14. Semua pihak yang telah membantu, baik secara langsung maupun tidak langsung.

Semoga Allah SWT senantiasa memberi rahmat bagi semua pihak yang telah membantu penulis.

Karena keterbatasan yang dimiliki, penulis menyadari masih banyak sekali kekurangan pada penulisan tugas akhir ini. Oleh karena itu, penulis mengharapkan kritik dan saran agar tugas akhir ini menjadi lebih baik dan berguna dimasa yang akan datang. Harapan penulis, tugas akhir yang sederhana ini dapat bermanfaat bagi pembaca, rekan-rekan mahasiswa dan dosen-dosen di Institut Teknologi Sepuluh Nopember.

Dengan segala kerendahan hati, penulis memohon maaf atas kesalahan dalam ucapan maupun perbuatan dan atas segala perhatian diucapkan terima kasih.

Surabaya, Juli 2017

Penulis  
(Muhammad Bahru Sholahuddin)

## DAFTAR ISI

LEMBAR PENGESAHAN.....	v
Abstrak .....	ix
Abstract .....	xi
KATA PENGANTAR.....	xiii
DAFTAR ISI .....	xv
DAFTAR GAMBAR .....	xvii
BAB I .....	1
1.1. Latar Belakang .....	1
1.2. Perumusan Masalah .....	2
1.3. Batasan Masalah .....	2
1.4. Tujuan .....	2
1.5. Manfaat .....	2
BAB II .....	3
2.1. Pengolahan Citra (Image Processing) .....	3
2.2. Computer Vision.....	4
2.3. OpenCV .....	4
2.4. Model Warna HSV (Hue, Saturation, Value) .....	5
2.5. Pencocokan Kurva (Curve Fitting) .....	6
2.6. Interpolasi Polynomial .....	6
2.7. Matlab Curve Fitting Toolbox .....	6
2.8. Segmentasi Obyek Citra .....	7
2.9. Pengurangan Tingkat Noise .....	8
2.10. Crane .....	8
2.11. Automatic Stacking Crane .....	11
2.12. Exposure .....	13
2.13. Fungsi Eksponensial .....	16
2.14. Android SDK (Software Development Kit).....	17
BAB III.....	19
3.1. Studi Pustaka.....	20
3.2. Pembuatan Program Pengambilan Data.....	20
3.3. Pengambilan Data .....	20
3.4. Analisa Data.....	20

3.5.	Pembuatan Program Simulasi .....	20
3.6.	Percobaan Program .....	20
BAB IV .....		21
4.1.	Analisa Warna Model HSV Terhadap Perubahan Intensitas Cahaya.....	21
4.1.1.	Nilai Exposure – Hue .....	21
4.1.2.	Nilai Exposure – Saturation .....	21
4.1.3.	Nilai Exposure – Value .....	22
4.1.4.	Intensitas Cahaya – Hue .....	23
4.1.5.	Intensitas Cahaya – Saturation .....	23
4.1.6.	Intensitas Cahaya – Value .....	24
4.1.7.	Intensitas Cahaya – Average Saturation & Value (Kamera) .....	25
4.1.8.	Interpolasi Nilai Exposure – Value .....	25
4.1.9.	Pencocokan Kurva Hyperbolic Tangent.....	26
4.1.10.	Exponential Curve Fitting .....	27
4.2.	Simulasi Penerapan .....	28
4.2.1.	Peletakan Kamera dari Sistem .....	28
4.2.2.	Thresholding .....	29
4.2.3.	Median Filter (Smoothing) .....	30
4.2.4.	Find Contours .....	31
4.2.5.	Contour Area .....	31
4.2.6.	Convex Hull Area.....	31
4.2.7.	Find Spreader Edge .....	32
4.2.8.	Making Line .....	34
4.2.9.	Center Point Displacement .....	35
4.2.10.	Vertical Displacement .....	36
4.2.11.	List.....	37
4.2.12.	Trim.....	38
4.2.13.	Skewness .....	39
BAB V .....		41
DAFTAR PUSTAKA.....		43
LAMPIRAN .....		45
BIODATA PENULIS.....		63



## DAFTAR GAMBAR

Gambar 2. 1 Diagram hubungan computer vision dengan bidang lain .....	3
Gambar 2. 2 Ilustrasi bagaimana komputer melihat.....	4
Gambar 2. 3 Perbandingan model warna RGB dengan HSV .....	5
Gambar 2. 4 Perbandingan model warna RGB dengan HSV .....	7
Gambar 2. 5 Convolution .....	8
Gambar 2. 6 Jib crane.....	9
Gambar 2. 7 Floating crane .....	9
Gambar 2. 8 Gantry crane .....	10
Gambar 2. 9 Gerakan dasar crane.....	11
Gambar 2. 10 Ilustrasi sistem otomatis pada TMEIC Maxview Crane.....	12
Gambar 2. 11 Iustrasi sistem otomatis pada MHI Automated Transfer Crane .....	13
Gambar 3. 1 Flowchart metodologi penelitian .....	19
Gambar 4. 1 Grafik respon Hue terhadap exposure .....	21
Gambar 4. 2 Grafik respon Saturation terhadap exposure.....	22
Gambar 4. 3 Grafik respon Value terhadap exposure .....	22
Gambar 4. 4 Grafik respon Hue terhadap Intensitas Cahaya .....	23
Gambar 4. 5 Grafik respon Saturation terhadap Intensitas Cahaya.....	24
Gambar 4. 6 Grafik respon Value terhadap Intensitas Cahaya.....	24
Gambar 4. 7 Grafik respon Saturation& Value terhadap Intensitas Cahaya .....	25
Gambar 4. 8 Grafik hasil interpolasi value terhadap exposure.....	25
Gambar 4. 9 Pergeseran dengan mengubah nilai x untuk obyek lain.....	26
Gambar 4. 10 Grafik fungsi hyperbolic tangent EV – Value .....	26
Gambar 4. 11 Grafik fungsi eksponensial Saturation - I .....	27
Gambar 4. 12 Grafik fungsi eksponensial Value - I .....	28
Gambar 4. 13 Letak Laser pada crane TMEIC Maxview.....	28
Gambar 4. 14 Sudut pandang operator kabin .....	29
Gambar 4. 15 Thresholded Image .....	29
Gambar 4. 16 Ilustrasi median filtering.....	30
Gambar 4. 17 Thresholded Image dengan Median Filter .....	30
Gambar 4. 18 Keluaran kontur dari image biner .....	31
Gambar 4. 19 Convex hull dari kontur .....	32
Gambar 4. 20 Ilustrasi algoritma pencari sisi.....	33

Gambar 4. 21 Penerapan algoritma pencari sisi .....	34
Gambar 4. 22 Bounded line dari satu titik ke titik lain.....	35
Gambar 4. 23 Simulasi perpindahan posisi dari referensi (a) ke posisi (b) dan (c).....	36
Gambar 4. 24 Simulasi gerakan vertikal .....	37
Gambar 4. 25 Simulasi list .....	38
Gambar 4. 26 Simulasi trim.....	38
Gambar 4. 27 Simulasi skewness .....	39

# BAB I

## PENDAHULUAN

### 1.1. Latar Belakang

Sekarang ini kegiatan yang dilakukan oleh manusia telah banyak digantikan oleh mesin. Meski tidak sempurna seperti apa yang dimiliki oleh manusia (mata, otak, telinga, hidung, kulit, tangan, kaki, dll), mesin mampu bekerja lebih efisien karena berbagai faktor. Kamera yang berguna sebagai masukan yang dapat dianalogikan sebagai mata dan sirkuit pemroses yang dianalogikan seperti otak masih memiliki banyak kekurangan. Jika dibandingkan dengan mata, densitas titik-titik warna (pixel) pada kamera masih memiliki perbandingan nilai yang jauh. Begitu pula dengan sirkuit pemroses yang butuh masukan parameter tertentu agar proses dapat berjalan sesuai keinginan pengguna.

Sebagai pemrogram Computer Vision pada tim Roboboat Barunastra ITS, didapat permasalahan yang perlu diatasi dalam pengolahan citra. Pada kondisi terbuka dimana ada pengaruh cahaya matahari, robot kapal yang menerapkan pengolahan citra dengan segmentasi menggunakan *thresholding* warna HSV tidak mampu mendeteksi halangan dengan baik jika kondisi cahaya berubah dari sebelumnya. Hal ini disebabkan nilai warna dari halangan yang telah didapat telah berubah akibat perubahan paparan intensitas cahaya pada objek halangan tersebut. Masalah ini sebelumnya diatasi dengan memperlebar rentang nilai Value pada HSV yang merupakan representasi dari intensitas pencahayaan dan melakukan kalibrasi ulang jika intensitas cahaya berubah drastis. Namun cara ini rentan karena semakin lebar rentang suatu nilai maka kemungkinan *noise* yang di dapat juga semakin besar, dan pada praktiknya nilai Saturation juga berubah. Hal ini tentunya dapat mengurangi efisiensi waktu tim dalam berkegiatan. Pada skripsi ini ingin diatasi permasalahan tersebut dengan menerapkan fungsi yang menghubungkan perubahan intensitas cahaya dengan perubahan nilai warna pada sistem pengolahan citra, sehingga sistem dapat melakukan koreksi terhadap intensitas cahaya tanpa adanya pengaturan oleh manusia. Device yang digunakan dalam proses pengerjaan skripsi ini ialah ponsel android dan komputer. Hal ini ditentukan dari pertimbangan portabilitas, kompatibilitas, dan ekonomis. Pada pengambilan data digunakan device android karena mudah untuk dipergunakan dan sudah terintegrasi antara sirkuit pemroses, display interface, kamera, dan sensor lain.

Dalam kaitannya dengan bidang teknologi kelautan, hasil analisa ini dapat diterapkan baik dalam monitoring ataupun kontrol suatu alat. Sebagai contoh, dalam hal monitoring Computer Vision telah diterapkan dalam membantu kegiatan Remote Sensing. Dalam hal kontrol alat, Computer Vision dapat diterapkan dalam Robot yang berkaitan, seperti halnya robot kapal, Automatic Crane, dll. Penerapan yang ditawarkan dalam skripsi ini ialah pada Automatic Stacking Crane dimana sistem pengolahan citra dapat digunakan untuk mengidentifikasi spreader, container, dan gantry serta memperkirakan sifat dari objek tersebut seperti posisi, arah gerakan, dan kecepatan. Namun pada skripsi ini, hasil analisa yang dilakukan berdasar warna hanya dipergunakan untuk mengidentifikasi spreader. Sedangkan untuk pengidentifikasian dengan cara lain

(misal analisa bentuk berdasarkan pola antar pixel) atau untuk objek lain dilakukan pada penelitian lain.

### **1.2. Perumusan Masalah**

1. Bagaimana respon perubahan nilai HSV objek terhadap perubahan intensitas cahaya?
2. Bagaimana penerapan kontrol pengolahan citra terhadap warna dengan kondisi cahaya yang berubah?

### **1.3. Batasan Masalah**

1. Proses pengolahan citra gambar pada kegiatan ini dilakukan hanya pada bidang matrix 2 dimensi.
2. Proses pengolahan berdasarkan respon umum, tidak diperhitungkan tingkat reflektifitas cahaya material.
3. Objek percobaan berupa benda datar.

### **1.4. Tujuan**

1. Mendapatkan respon umum dari perubahan nilai HSV objek terhadap perubahan intensitas cahaya.
2. Mensimulasikan penerapan pengolahan citra dari hasil analisa dan percobaan yang telah dilakukan

### **1.5. Manfaat**

1. Menyediakan data karakteristik nilai warna HSV suatu objek terhadap intensitas cahaya.
2. Meningkatkan kinerja sistem yang menerapkan Computer Vision 2D pada kondisi yang berubah-ubah kondisi cahayanya (kondisi terbuka).

## BAB II

### TINJAUAN PUSTAKA

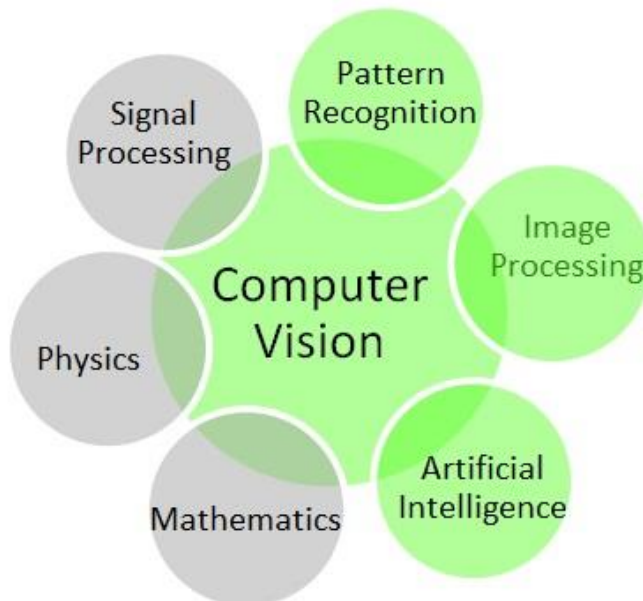
#### 1.1. Pengolahan Citra (*Image Processing*)

Pengolahan citra adalah pengolahan gambar, rangkaian gambar atau video, seperti foto atau video. Output dari pengolahan citra bisa berupa gambar atau sekumpulan karakteristik atau parameter yang berhubungan dengan gambar. [1] Sebagian besar teknik pengolahan citra bekerja dengan cara mengisolasi sinyal dua dimensi dan menerapkan pemrosesan sinyal pada gambar. Gambar juga diproses sebagai sinyal tiga dimensi dengan dimensi ketiga berupa waktu ataupun sumbu-z.

Pengolahan citra umumnya mengacu pada pengolahan citra digital, namun pemrosesan gambar optik dan analog juga bisa masuk kategori ini. Akuisisi gambar (mendapatkan gambar masukan pada wadah pertama) juga dapat disebut sebagai pencitraan. [2]

Bidang yang berkaitan erat dengan pengolahan citra adalah komputer grafis dan *computer vision*. Dalam komputer grafis, gambar dibuat secara manual dari model fisik objek, lingkungan, dan pencahayaan, tidak diperoleh melalui perangkat pencitraan seperti kamera dari pemandangan alami. Sedangkan *Computer vision*, sering dianggap sebagai pengolahan citra tingkat tinggi dimana mesin / komputer / perangkat lunak dapat menguraikan dan menjelaskan isi fisik gambar atau urutan gambar. Hubungan pengolahan citra dengan *computer vision* ditunjukkan dalam Gambar 2.1.

Dalam ilmu pengetahuan dan teknologi modern, gambar juga mendapatkan cakupan yang jauh lebih luas karena semakin pentingnya visualisasi ilmiah (seringkali data ilmiah atau eksperimen kompleks berskala besar). Contohnya termasuk data microarray dalam penelitian genetika, atau perdagangan portofolio multi-aset real-time di bidang keuangan.



**Gambar 2. 1** Diagram hubungan computer vision dengan bidang lain  
(<http://www.kdnuggets.com/2016/08/seven-steps-understanding-computer-vision.html>)

## 1.2. Computer Vision

Computer Vision merupakan bidang antar berbagai disiplin ilmu pengetahuan yang berurusan tentang bagaimana komputer dapat memahami objek dari gambar ataupun video digital. Dalam perspektif engineering, bidang ini diusahakan untuk melakukan tugas secara otomatis, dan bekerja sebagaimana mata manusia dapat bekerja. [3]

Tugas Computer Vision meliputi kegiatan mendapatkan, mengolah, menganalisa, memahami citra digital, dan secara umum berurusan dengan ekstraksi data dari dunia nyata agar menghasilkan informasi numeris. [4]

Pada sistem pengolahan citra, komputer hanya menerima sederetan nilai dari kamera ataupun perangkat penyimpan (disk). Gambar 2.2 berikut menampilkan suatu gambar mobil. Pada gambar tersebut, objek yang kita lihat ialah sisi kaca spion. Namun apa yang komputer lihat hanyalah sederetan nilai. Tugas seorang pelaku Computer Vision ialah dengan mengolah nilai-nilai tersebut, sehingga dapat diidentifikasi bahwa objek tersebut merupakan spion. [5]



**Gambar 2. 2** Ilustrasi bagaimana komputer melihat  
(Bradski p. 3, 2008)

## 1.3. OpenCV

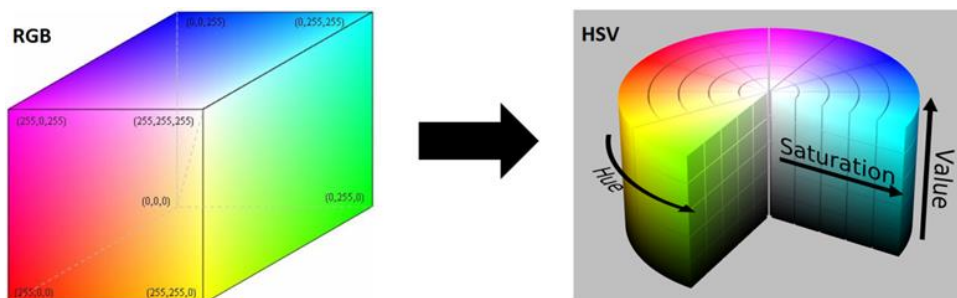
Untuk membantu aktivitas pemrograman dalam pengolahan citra maupun *computer vision*, terdapat *library* program yang mencakup hampir seluruh fungsi atau metode pemrograman *computer vision*, yaitu OpenCV. Dibuat sebagai *open source library*, pustaka ini boleh digunakan, didistribusikan, dan dikembangkan oleh siapa saja. *Library* ini awalnya ditulis dalam kode C dan C ++, namun juga terdapat pengembangan pada beberapa bahasa pemrograman lainnya, seperti Python, Ruby, Java, dan Matlab. *Library* ini dirancang untuk mengoptimalkan efisiensi komputasi dan

berfokus kuat pada aplikasi *real-time* [5]. Saat ini, *OpenCV library* dapat dijalankan di beberapa platform digital termasuk iOS, android, windows, Mac OS, Linux dan digunakan di berbagai mesin seperti telepon genggam, laptop, tablet, dan komputer pribadi.

#### 1.4. Model Warna HSV (Hue, Saturation, Value)

HSV adalah sistem koordinat-silinder yang paling umum merepresentasikan poin dalam model warna RGB, yang mengatur ulang geometri RGB dalam upaya untuk perseptual yang lebih relevan daripada representasi koordinat kartesian [6].

Untuk memudahkan proses pengolahan citra, umumnya gambar yang dimodelkan dalam bentuk RGB terlebih dahulu diubah ke model HSV. Model warna HSV digunakan karena model ini menggambarkan warna yang sama dengan intuisi manusia untuk melihat warna. Seperti ditunjukkan pada Gambar 2.3 yang mana RGB mendefinisikan warna sebagai kombinasi warna merah, hijau, dan biru, HSV mendeskripsikan warna dengan menggunakan perbandingan yang lebih akrab. Hue mewakili jenis warna, Saturation mewakili bagaimana jenuh atau pudarnya warna tersebut, dan Value mewakili tingkat penerangan.



**Gambar 2. 3** Perbandingan model warna RGB dengan HSV  
[https://people.eecs.berkeley.edu/~sequin/CS184/TOPICS/ColorSpaces/Color\\_0.html](https://people.eecs.berkeley.edu/~sequin/CS184/TOPICS/ColorSpaces/Color_0.html);  
[https://en.wikipedia.org/wiki/HSL\\_and\\_HSV](https://en.wikipedia.org/wiki/HSL_and_HSV)

Untuk merubah model warna RGB ke HSV, Travis dalam [7] telah menyediakan formula berikut:

$$M = \max(R, G, B) \quad (1)$$

$$m = \min(R, G, B) \quad (2)$$

$$C = M - m \quad (3)$$

$$H' = \begin{cases} \text{undefined,} & \text{if } C = 0 \\ \frac{G-B}{C} \bmod 6, & \text{if } M = R \\ \frac{B-R}{C} + 2, & \text{if } M = G \\ \frac{R-G}{C} + 4, & \text{if } M = B \end{cases} \quad (4)$$

$$H = 60^\circ \times H' \quad (5)$$

$$S = \begin{cases} 0, & \text{if } V = 0 \\ \frac{c}{\sqrt{V}}, & \text{otherwise} \end{cases} \quad (6)$$

$$V = M \quad (7)$$

### 1.5. Pencocokan Kurva (*Curve Fitting*)

Pencocokan kurva adalah proses membangun kurva, atau fungsi matematis, yang paling sesuai dengan serangkaian titik data. Pencocokan kurva dapat melibatkan interpolasi, di mana kecocokan tepat dengan data diperlukan, atau smoothing, di mana fungsi untuk menghaluskan kurva dibuat sehingga dapat menyesuaikan data. Topik yang berkenaan dengan pencocokan kurva ialah adalah analisis regresi, yang lebih berfokus pada pertanyaan tentang inferensi statistik seperti seberapa banyak ketidakpastian hadir dalam kurva yang sesuai dengan data yang diamati dengan kesalahan acak. Pencocokan kurva dapat digunakan sebagai bantuan untuk visualisasi data, untuk mendapatkan nilai menggunakan fungsi untuk data yang tidak tersedia, dan untuk meringkas hubungan antara dua atau lebih variabel. Ekstrapolasi mengacu pada penggunaan kurva yang dipasang di luar jangkauan data yang diamati, dan dapat mencerminkan metode yang digunakan untuk membangun kurva sebesar data yang diamati. [8]

### 1.6. Interpolasi Polynomial

Interpolasi polynomial merupakan salah satu metode pencocokan kurva yang menginterpolasi data yang telah tersedia, baik oleh pengukuran, penyederhanaan polynomial, ataupun table yang telah tersedia di literatur. Interpolasi ini merupakan generalisasi dari interpolasi linear, yang mana fungsi diganti oleh polinomial dengan derajat lebih tinggi. Contoh dari fungsi polinomial 6 derajat ialah  $f(x) = -0.0001521x^6 - 0.003130x^5 + 0.007321x^4 - 0.3577x^3 + 0.225x^2 + 0.9038x$ . [9] Formula untuk melakukan interpolasi polinomial dapat menggunakan formula polynomial Lagrange Eq. (8):

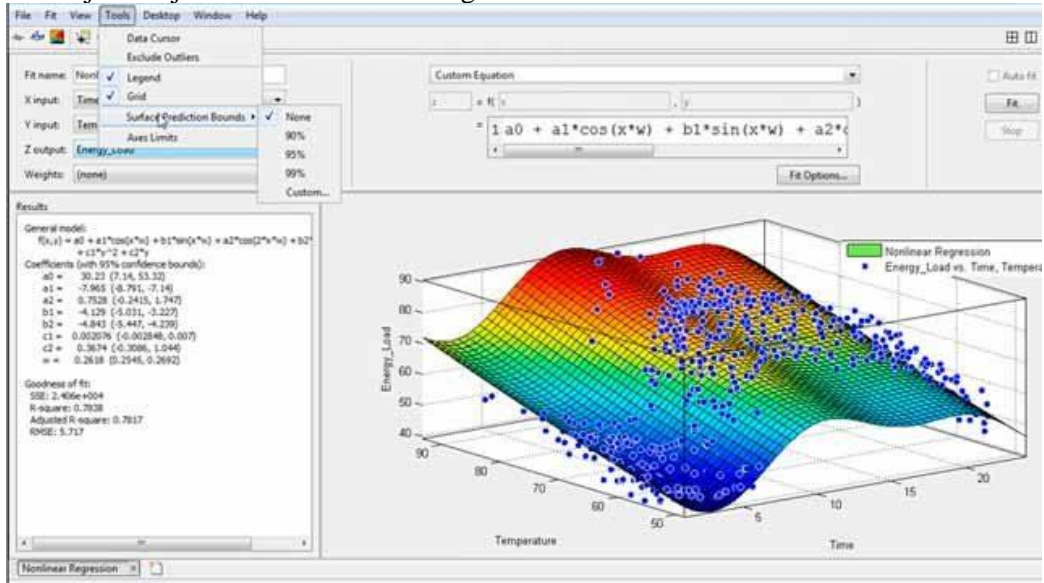
$$p(x) = \sum_{i=0}^n \left( \prod_{\substack{0 \leq j \leq n \\ j \neq i}} \frac{x - x_j}{x_i - x_j} \right) y_i \quad (8)$$

### 1.7. Matlab Curve Fitting Toolbox

Curve Fitting Toolbox merupakan aplikasi dan fungsi untuk melakukan pencocokan kurva dan surface pada data. Toolbox ini memungkinkan untuk melakukan analisis data eksploratori, data preprocess dan post-process, membandingkan model kandidat, dan menghapus outlier. Dapat digunakan untuk melakukan analisis regresi dengan menggunakan *library* model linier dan nonlinier yang disediakan atau yang ditentukan oleh pengguna sendiri. *Library* menyediakan parameter pemecah yang dioptimalkan dan kondisi awal untuk meningkatkan kualitas kurva. Toolbox ini juga mendukung teknik pemodelan nonparametrik, seperti splines, interpolation, dan smoothing. [10]



Setelah membuat pencocokan kurva, langkah selanjutnya dapat diterapkan berbagai metode pasca pengolahan untuk perencanaan, interpolasi, dan ekstrapolasi. Dan, memperkirakan interval, serta menghitung integral dan derivatif. Gambar 2.4 menunjukkan jendela dari Curve Fitting Tools.



**Gambar 2. 4** Perbandingan model warna RGB dengan HSV

(<https://www.mathworks.com/products/curvefitting.html>)

## 1.8. Segmentasi Obyek Citra

Terdapat berbagai macam cara untuk mensegmentasi obyek dalam pengolahan citra. Obyek yang di segmentasi biasanya akan dihasilkan dalam bentuk gambar biner. Cara paling gampang melakukan segmentasi ialah dengan melakukan thresholding [11]. Thresholding bekerja dengan memilih pixel dengan membatasi intensitas pixel mana saja yang masuk kategori obyek yang ingin didapat. Berikut fungsi matematis dari proses ini.

$$dst_H = \begin{cases} 1, & \text{if } vLwr(x,y)_H \leq src(x,y)_H \leq vUpr(x,y)_H \\ 0, & \text{otherwise} \end{cases} \quad (9)$$

$$dst_S = \begin{cases} 1, & \text{if } vLwr(x,y)_S \leq src(x,y)_S \leq vUpr(x,y)_S \\ 0, & \text{otherwise} \end{cases} \quad (10)$$

$$dst_V = \begin{cases} 1, & \text{if } vLwr(x,y)_V \leq src(x,y)_V \leq vUpr(x,y)_V \\ 0, & \text{otherwise} \end{cases} \quad (11)$$

$$dst(x,y) = \begin{cases} 255, & \text{if } dst_H = 1 \wedge dst_S = 1 \wedge dst_V = 1 \\ 0, & \text{otherwise} \end{cases} \quad (12)$$

Setiap pixel dalam gambar RGB, maupun HSV merupakan vector. Jika setiap pixel dalam keseluruhan matrix merupakan vector itu berarti pixel tersebut menampung lebih dari satu nilai, pada HSV ada 3 yaitu untuk Hue, Saturation, dan Value. Karena gambar output merupakan array bertipe *unsigned integer* maka nilai

tertingginya ialah 255 (semua bit berlogika 1) direpresentasikan dengan warna putih dan terendahnya ialah 0 (semua bit berlogika 0) di representasikan dengan warna hitam. Jadi, melalui persamaan ini, kordinat pixel yang memiliki nilai intensitas yang berada di dalam range yang telah ditentukan akan berwarna putih, dan yang lainnya akan berwarna hitam.

### 1.9. Pengurangan Tingkat Noise

Ada beberapa cara untuk menghilangkan piksel yang tidak diinginkan dari gambar. Cara sederhana untuk melakukan tugas ini adalah melakukan smoothing. Jenis operator yang paling umum digunakan adalah filter linier, dimana nilai piksel keluaran ditentukan sebagai jumlah nilai masukan piksel tertimbang. Seperti yang ditunjukkan pada Gambar 2.5, gambar di sebelah kiri melingkupi filter di tengah untuk menghasilkan gambar di sebelah kanan. Pixel biru muda menunjukkan filter sumber untuk keluaran pixel hijau muda [12]. Filter yang digunakan dapat disusun berdasarkan model statistic, seperti Gaussian Filter, Median Filter, Mean Filter, dll.

45	60	98	127	132	133	137	133
46	65	98	123	126	128	131	133
47	65	96	115	119	123	135	137
47	63	91	107	113	122	138	134
50	59	80	97	110	123	133	134
49	53	68	83	97	113	128	133
50	50	58	70	84	102	116	126
50	50	52	58	69	86	101	120

\*

0.1	0.1	0.1
0.1	0.2	0.1
0.1	0.1	0.1

=

69	95	116	125	129	132
68	92	110	120	126	132
66	86	104	114	124	132
62	78	94	108	120	129
57	69	83	98	112	124
53	60	71	85	100	114

$f(x,y)$

$h(x,y)$

$g(x,y)$

**Gambar 2. 5** Convolution  
(Szeliski p. 112, 2010)

### 1.10. Crane

Crane merupakan salah satu jenis mesin, umumnya dilengkapi dengan tali kerekan, tali kawat atau rantai, dan katrol, yang dapat digunakan baik untuk mengangkat dan menurunkan benda dan memindahkannya secara horisontal. Peralatan ini digunakan untuk mengangkat benda-benda berat dan mengangkutnya ke tempat lain. Perangkat menggunakan satu atau lebih mesin sederhana untuk menciptakan keuntungan mekanis dan dengan demikian memindahkan beban di luar kemampuan normal manusia. Crane biasanya digunakan di industri transportasi untuk bongkar muat barang, di industri konstruksi untuk memindahkan material, dan di industri manufaktur untuk perakitan alat berat. [13]

*Crane* menjadi peralatan penting di dunia industri selain dari konveyor dan truk. Tidak hanya industri, *crane* juga digunakan pada konstruksi dan bidang perkapalan. Fungsi utama sebuah *crane* adalah untuk mengangkat benda tertentu dan memindahkannya ke tempat yang diinginkan. Terdapat tiga gerakan umum pada *crane*,

yaitu *hoisting*, *derricking*, dan *slewing*. Umumnya, *crane* digerakkan oleh motor listrik, mesin diesel, atau gabungan keduanya. *Crane* yang digunakan pada berbagai industri, dapat diklasifikasikan sebagai berikut:

a. Berdasarkan konstruksi:

- *Rotary crane*, misalnya *tower crane* dan *jib crane* dapat dilihat pada Gambar 2.6.



**Gambar 2. 6 Jib crane**  
(<http://www.trademark-hoist.com>)

- *Mobile crane*, misalnya *rail mounted* dan *floating crane* dapat dilihat pada Gambar 2.7. yang diambil dari situs.



**Gambar 2. 7 Floating crane**  
(<http://www.shipseller.net>)

- *Bridge crane*, misalnya *overhead travelling crane* dan *gantry crane* dapat dilihat pada Gambar 2.8.



**Gambar 2. 8** Gantry crane  
(<https://www.shuttlelift.com>)

- b. Berdasarkan kegunaan:
  - *Indoor crane*
  - *Outdoor crane*
- c. Berdasarkan beban yang diangkat:
  - *Light duty*
  - *Medium duty*
  - *Heavy duty*
- d. Berdasarkan perpindahan:
  - *Stationary crane*
  - *Mobile crane*

Pada setiap *crane* terdapat bagian-bagian penting yang menunjang fungsi dari *crane* tersebut. Berikut bagian-bagian penting dan fungsi dari *crane* pada umumnya:

- a. Struktur penunjang  
Struktur penunjang umumnya berupa dinding atau *girder*. Dinding terbuat dari semen, sedangkan *girder* terbuat dari berbagai bagian atau sudut. *Girder* biasanya menunjang *hoisting trolley*, di mana terdapat beban statis dan dinamis.
- b. *Hoisting mechanism*  
*Hoisting mechanism* merupakan mekanisme inti dari sebuah *crane*. Biasanya dioperasikan secara manual atau menggunakan penggerak. Mekanisme ini terdiri dari elemen *hoisting*, seperti *wire rope* atau *chain*, motor penggerak, *gear*, katrol, *sprocket*, *drums*, dan lain-lain.

c. *Load lifting attachments*

*Load lifting attachments* merupakan peralatan tambahan untuk mengangkat beban. Biasanya menggunakan *hook*. Peralatan ini dibedakan berdasarkan beban yang akan diangkat.

d. Peralatan kontrol

Peralatan kontrol pada *crane* terdiri dari peralatan untuk *safe working* dari sebuah *crane*. Terdiri dari *brakes*, *limit switches*, *arresting gears*, *relay*, dan sensor.

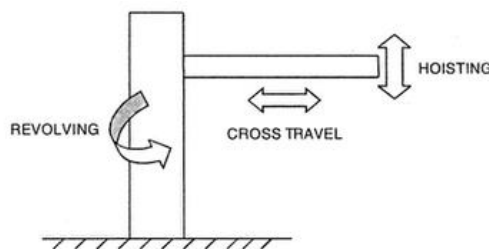
e. Penggerak

Penggerak pada *crane* dapat berupa elektrik, *gear drive*, atau diesel generator.

f. *Crab* atau *cabin*

*Cabin* merupakan tempat operator mengoperasikan *crane*. Letaknya sangat penting dalam operasional *crane*.

Selain bagian-bagian penting, terdapat juga gerakan dasar yang dapat membuat sebuah beban diangkat oleh *crane* seperti yang diilustrasikan pada Gambar 2.9. [14]



**Gambar 2. 9** Gerakan dasar *crane*

(Arora p. 40, 2007)

- Hoisting motion*: merupakan gerakan yang khusus berfungsi untuk mengangkat dan menurunkan beban.
- Radial movement of load*: pada gerakan ini beban berpindah terhadap *fixed frame* atau *centre of crane*.
- Revolving motion*: gerakan ini memungkinkan beban berputar di sumbu vertical sebesar  $360^\circ$ .
- Travelling the crane with load*: gerakan ini memungkinkan seluruh *crane* berpindah bersama beban.

### 1.11. Automatic Stacking Crane

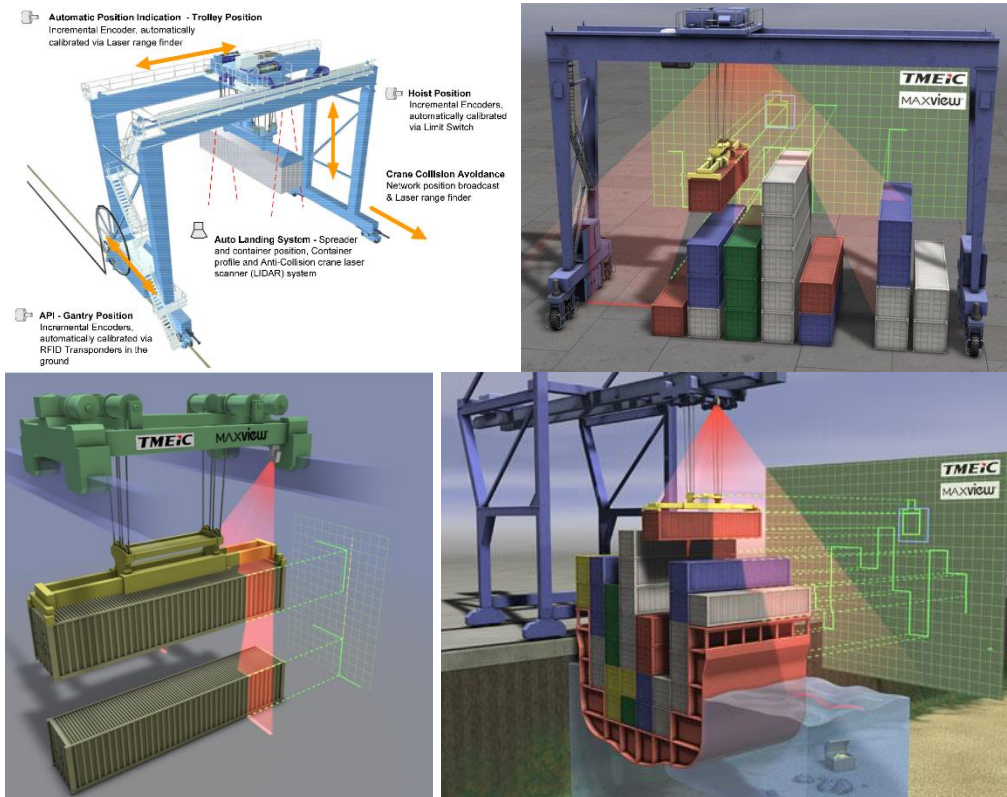
Proses pengelolaan peti kemas atau kontainer pada lapangan penumpukan (*stacking yard*) membutuhkan peralatan yang sesuai. Pada *stacking yard* yang berukuran kecil, proses penumpukan biasanya dilakukan menggunakan *forklift* atau *reach stacker*. Pada *stacking yard* yang lebih besar, proses penumpukan biasanya dibantu oleh *Rail Mounted Gantry* ataupun *Rubber Tyred Gantry*.

Saat ini proses penumpukan pada *stacking yard* di beberapa tempat telah mengalami otomatisasi. *Rail Mounted Gantry* yang sebelumnya digunakan secara manual, yaitu dilakukan dengan pengambilan keputusan oleh manusia, kini telah berganti menjadi otomatis, yang mana proses pengambilan keputusan dilakukan oleh mesin. *Rail Mounted Gantry* yang mampu bekerja secara otomatis ini disebut dengan



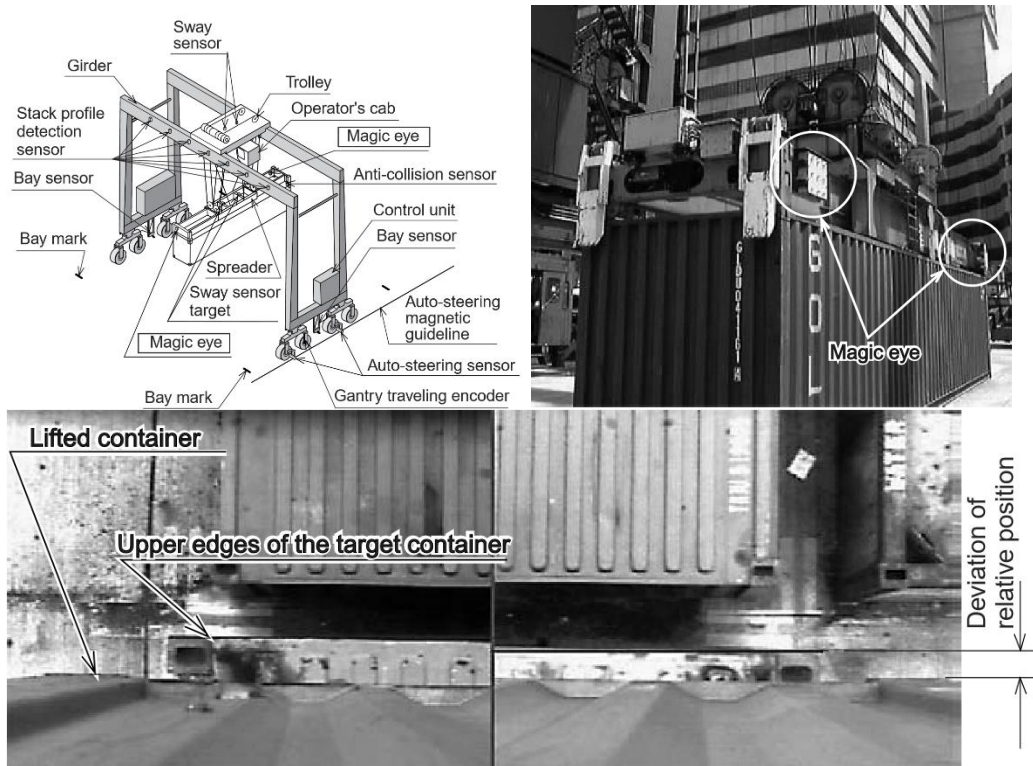
*Automated Rail Mounted Gantry* atau untuk yang lebih umum bisa disebut *Automatic Stacking Crane*.

*Automatic Stacking Crane* dapat bekerja dengan berbagai cara untuk melakukan tugasnya. Sebagai contoh ASC (*Automatic Stacking Crane*) yang dibuat oleh TMEIC Maxview. TMEIC maxview menggunakan sensor laser yang diletakkan di *trolley* untuk mendeteksi gerakan *spreader* dan mendeteksi posisi terhadap kontainer sekitar, ilustrasi dapat dilihat pada Gambar 2.10. [14]



**Gambar 2. 10** Ilustrasi sistem otomatis pada TMEIC Maxview Crane  
(TMEIC Corporation, 2017)

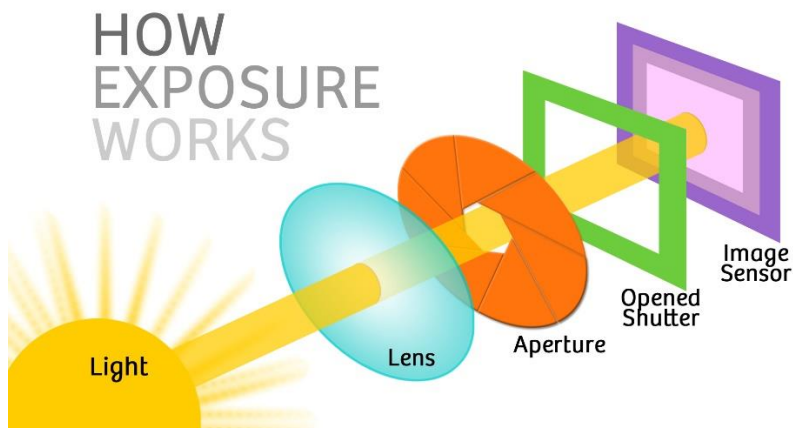
Pada crane Mitsubishi Heavy Industries untuk melakukan proses *positioning* ASC menggunakan cara yang berbeda. MHI menggunakan kamera yang diletakkan pada *spreader* untuk mendeteksi deviasi antara kontainer yang dibawa dengan kontainer dibawahnya. Kamera ini dinamakan magic-eye oleh MHI, terdapat 4 buah dan diletakkan pada setiap sudut *spreader*, ilustrasi dapat dilihat pada Gambar 3.10. [15]



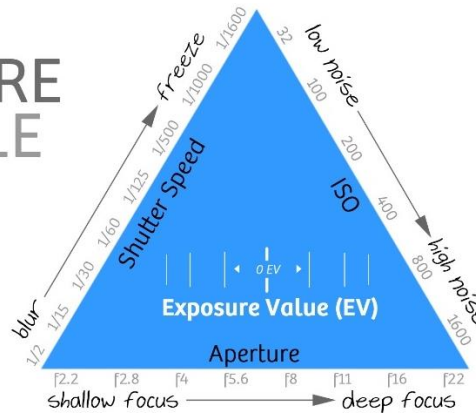
**Gambar 2. 11** Ilustrasi sistem otomatis pada MHI Automated Transfer Crane (Obata p. 1-3, 2003)

### 1.12. *Exposure*

*Exposure* merupakan proses penerimaan cahaya melalui lensa kamera ke sensor digital. Diilustrasikan oleh Gambar 2.12, Setiap *exposure* dipengaruhi oleh 3 faktor, yaitu *aperture*, *shutter speed*, dan *ISO*.



# EXPOSURE TRIANGLE

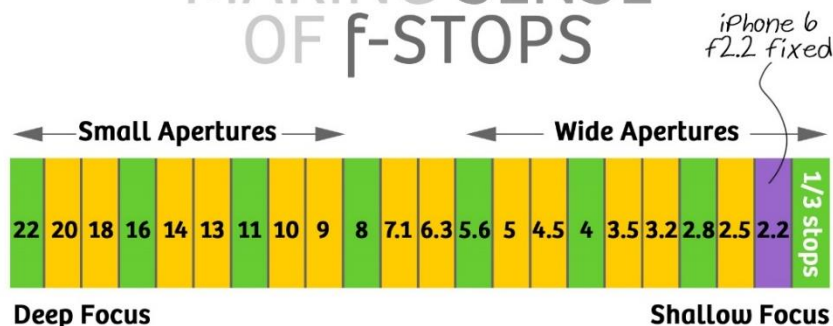


**Gambar 2. 12** Iustrasi cara kerja *exposure*

(<http://snapsnapsnap.photos/a-beginners-guide-for-manual-controls-in-iphone-photography-shutter-speed/>)

*Apertur* adalah bukaan (secara teknis disebut 'iris') pada lensa. *Aperture* mengacu kepada intensitas cahaya yang mana diukur dalam 'f-stops'. Skala 'f-stop' terlihat seperti Gambar 2.13 (pada 1/3 stops):

# MAKING SENSE OF f-STOPS

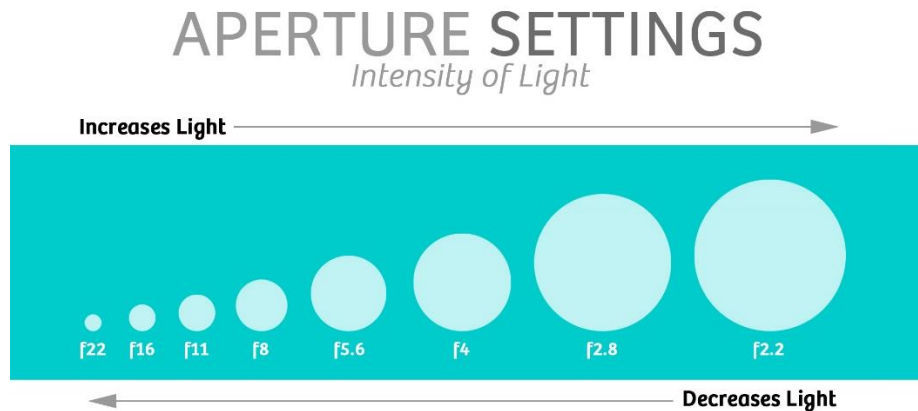


**Gambar 2. 13** Skala f-stops

(<http://snapsnapsnap.photos/a-beginners-guide-for-manual-controls-in-iphone-photography-shutter-speed/>)

f-stop yang semakin kecil berarti *aperture* semakin besar, dan sebaliknya f-stop yang semakin besar berarti *aperture* semakin kecil. Sebagaimana contoh di Gambar 2.14, f2.2 lebih besar daripada f22.





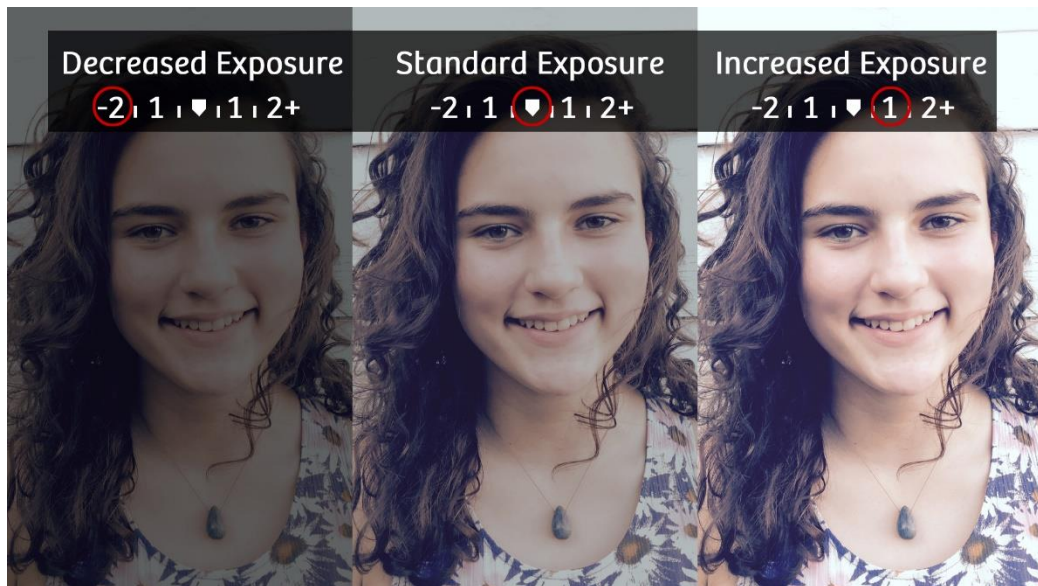
**Gambar 2. 14** Pengaturan *aperture*

(<http://snapsnapsnap.photos/a-beginners-guide-for-manual-controls-in-iphone-photography-shutter-speed/>)

Jika *aperture* merupakan intensitas cahaya yang sampai ke sensor kamera, *shutter speed* merupakan durasi cahaya yang sampai ke sensor. *Shutter speed* yang semakin lambat (seperti ½ detik, ¼ detik, 1/8 detik, 1/15 detik) menghasilkan pergerakan ‘blur’, karena cenderung menghasilkan gambar yang blur dan seolah-olah tertarik oleh pergerakan obyek. Sedangkan, *shutter speed* yang lebih cepat (seperti 1/250 detik, 1/500 detik, 1/1000 detik) cenderung menghasilkan obyek yang diam, atau disebut ‘freeze’.

ISO mengacu kepada keseluruhan sensitivitas sensor terhadap cahaya. Nilai ISO yang semakin rendah menghasilkan citra yang lebih gelap dan noise atau gangguan yang ditimbulkan juga semakin rendah. Sedangkan, ISO yang semakin besar menghasilkan citra yang lebih terang dan menimbulkan noise atau gangguan yang semakin besar pula.

*Exposure Value* merupakan angka yang digunakan untuk merepresentasikan kombinasi *exposure* (dari *aperture*, *shutter speed*, dan ISO) yang sesuai dan dapat diterapkan. Setiap level EV (*Exposure Value*) sama terhadap satu satuan pengaturan dari *aperture*, *shutter speed*, dan ISO. Seperti ditunjukkan dalam Gambar 2.15 menaikkan *Exposure Value* membuat citra menjadi lebih terang, dan menurunkan *Exposure Value* membuat citra menjadi lebih gelap. [16]



**Gambar 2. 15** Ilustrasi pengaturan pada *exposure value*

(<http://snapsnapshots.com/a-beginners-guide-for-manual-controls-in-iphone-photography-shutter-speed/>)

### 1.13. Fungsi Eksponensial

Dalam matematika, fungsi eksponensial merupakan fungsi dalam bentuk  $f(x)=b^x$ , yang mana variabel masukan  $x$  berfungsi sebagai eksponen. Fungsi dalam bentuk  $f(x)=b^{x+c}$ , dimana  $c$  adalah konstanta, juga dianggap sebagai fungsi eksponensial dan dapat ditulis ulang sebagai  $f(x)=ab^x$ , dengan  $a=b^c$ .

Sebagai fungsi dari variabel bilangan real, fungsi eksponensial dicirikan berdasarkan fakta bahwa tingkat pertumbuhan dari turunannya secara langsung sebanding terhadap nilai fungsinya. Konstanta proporsionalitas dari hubungan ini merupakan logaritma natural dari basis  $b$ , yaitu

$$\frac{d}{dx}(b^x) = b^x \log_e(b) \quad (13)$$

Konstanta  $e \approx 2.71828...$  merupakan basis unik yang mana konstanta proporsionalitas akan bernilai 1, jadi fungsi turunannya adalah:

$$\frac{d}{dx}(e^x) = e^x \log_e(e) = e^x \quad (14)$$

Karena merubah basis dari fungsi eksponensial semata-mata hanya akan merubah penampilan dari faktor konstanta, secara komputasional hal ini cukup sesuai untuk membatasi pelajaran fungsi eksponensial pada matematika analisis ke dalam pelajaran fungsi khusus yang secara konvensional disebut “fungsi eksponensial natural”, atau secara sederhana “fungsi eksponensial” saja, ditunjukkan oleh

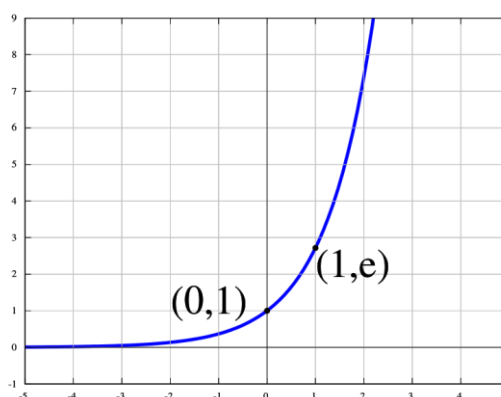
$$x \rightarrow e^x \text{ atau } \exp(\cdot) \quad (15)$$

Fungsi eksponensial memenuhi asas identitas perkalian

$$e^{x+y} = e^x e^y, \text{ untuk semua } x, y \in \mathbb{R} \quad (16)$$

Pada faktanya identitas perkalian ini bisa menjadi bilangan eksponen yang kompleks. Hal ini ditunjukkan dengan setiap solusi kontinu, dan bukan nol dari persamaan fungsi  $f(x+y)=f(x)f(y)$  merupakan fungsi eksponensial,  $f: \mathbb{R} \rightarrow \mathbb{R}, x \mapsto b^x$ , dengan  $b > 0$ . Argumen fungsi eksponensial dapat berupa bilangan real ataupun bilangan kompleks ataupun malah jenis lain dari obyek matematik seperti matrix misalnya.

Karena fungsi ini sering ditemukan dimana-mana, baik dalam matematika murni maupun terapan, matematikawan W. Rudin berpendapat bahwa fungsi eksponensial merupakan fungsi paling penting dalam matematika. Pada hal matematika terapan, fungsi eksponensial memodelkan hubungan yang mana konstanta berubah dalam variabel independen memberikan perubahan proporsional yang sama terhadap variabel dependen. Seperti halnya yang terjadi pada ilmu sosial maupun pengetahuan alam, ditemukan dalam konteks ilmu fisika, kimia, teknik, biologi matematis, dan ekonomi.



**Gambar 2. 16** Fungsi eksponensial natural  
(Peter John Acklam - Own work, CC BY-SA 3.0)

Seperti terlihat dalam Gambar 2. 16, grafik  $y = e^x$  merupakan gradien yang bergerak menaik, dan meningkat lebih cepat sebagaimana  $x$  meningkat. Grafik selalu berada diatas sumbu- $x$ , namun dapat sangat dekat dengan sumbu- $x$ , oleh karena itu sumbu- $x$  merupakan asimtot horisontal. Gradien dari setiap garis singgung pada tiap titik sama dengan koordinat- $y$  pada titik tersebut, seperti yang ditunjukkan dalam fungsi turunannya. Fungsi inverse dari fungsi ini ialah fungsi logaritma natural, ditunjukkan dengan **log**, **ln**, ataupun **log<sub>e</sub>**. [18]

#### 1.14. Android SDK (Software Development Kit)

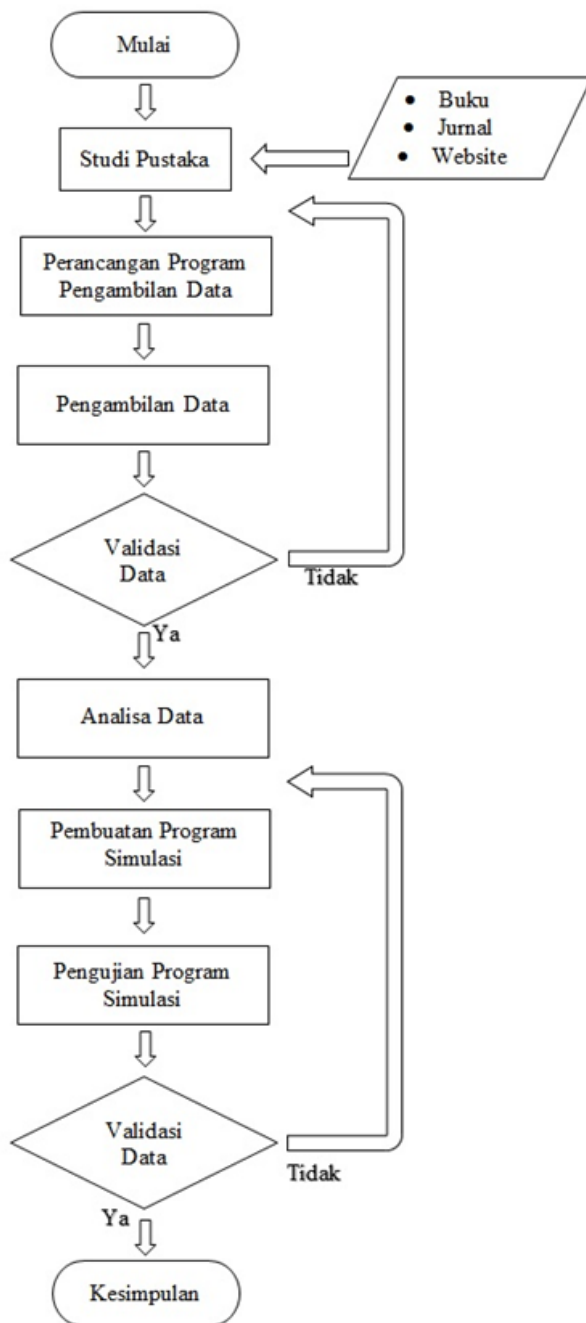
Android Software Development Kit merupakan kumpulan *tools* yang komprehensif untuk mengembangkan program android. Paket *tools* ini termasuk *debugger*, *library*, emulator, dokumentasi, contoh kode, tutorial. SDK ini adapat digunakan pada berbagai platform, yaitu Linux, MAC OS, maupun Windows.

Sampai sekitar akhir 2014, IDE (*Integrated Development Environment*) yang didukung secara ofisial oleh Android adalah 'Eclipse'. Eclipse dapat digunakan untuk mengembangkan android dengan menggunakan plugin ADT (Android Development Tools). Terdapat IDE lain juga yang dapat digunakan, yaitu 'IntelliJ IDEA' dan 'NetBeans'. Di tahun 2015, Eclipse bukan lagi IDE ofisial untuk mengembangkan android. Namun yang menjadi IDE ofisial adalah 'Android Studio', dibuat oleh Google,

dipersembahkan oleh IntelliJ. Akan tetapi pengembang atau *developer* bebas untuk menggunakan IDE manapun, tapi Google menjelaskan bahwa ADT secara resmi tidak berlaku lagi sejak akhir 2015 untuk berfokus pada Android Studio sebagai IDE resmi. [19]

Pada Tugas Akhir ini penulis menggunakan IDE dari Eclipse dan library dari OpenCV khusus untuk Android untuk mengembangkan program yang diterapkan pada perangkat android.

### BAB III METODOLOGI



Gambar 3. 1 Flowchart metodologi penelitian

Analisa teoritis dan sistematis terhadap metode yang digunakan merupakan hal yang penting. Kegiatan ini dan pelaporannya mampu menjadi indikator kevalidan suatu penelitian. Pada skripsi ini metode penelitian yang dilakukan ialah eksperimen/percobaan. Berikut langkah –langkah dalam penelitian yang akan dilakukan penulis:

### **3.1. Studi Pustaka**

Studi pustaka berguna untuk memperkaya pengetahuan terkait penelitian yang akan dilakukan. Dari studi pustaka dapat diperoleh pula informasi mengenai masalah-masalah lain yang dapat timbul, dan berbagai pemecahan masalah yang telah dilakukan untuk mengatasi masalah yang sama. Dari pengetahuan-pengetahuan tersebut peneliti dapat merancang penelitian dengan dasar yang kuat.

### **3.2. Pembuatan Program Pengambilan Data**

Dalam kegiatan ini penulis merancang program untuk mendapatkan nilai representasi intensitas cahaya baik dari Lightmeter kamera dan nilai warna dari beberapa objek warna serta berbagai proses lain di device android. Selain itu penulis mempersiapkan peralatan untuk pengkondisian eksperimen.

### **3.3. Pengambilan Data**

Pada tahap ini penulis melakukan percobaan menggunakan program yang telah dirancang terhadap berbagai objek warna tetap, yaitu Merah, Hijau, Biru. Hal yang menjadi variable kontrol dalam percobaan ini ialah perlengkapan yang digunakan, dan posisi perlengkapan. Kondisi cahaya matahari dan nilai *exposure* merupakan variabel bebas dalam penelitian ini. Variabel terikat yang merupakan konsekuensi dari variabel bebas ialah nilai warna dari objek warna acuan.

### **3.4. Analisa Data**

Dari data yang telah didapat, dianalisa hubungan antara variabel bebas dan terikat. Dari data tersebut juga dapat dibuat diagram grafik-nya, dan dilihat tren data-nya. Dengan metode interpolasi dapat diketahui perkiraan nilai warna identifikasi berdasarkan intensitas cahaya-nya, dari hal ini pula dapat ditentukan formula yang menunjukkan kerja-nya.

### **3.5. Pembuatan Program Simulasi**

Tahap ini dilakukan perancangan program dengan memasukkan formula yang telah ditentukan dari analisa sebelumnya. Pada hal ini yang dikontrol ialah nilai warna dari objek yang diacu. Selain itu, pada tahap ini program simulasi penerapan untuk mendeteksi gerakan-gerakan pada crane dapat dibuat.

### **3.6. Percobaan Program**

Program yang telah dibuat sebelumnya diuji dan dianalisa kinerjanya. Jika masih diras kuran baik, maka dilakuka pemrograman ulang.

## BAB IV

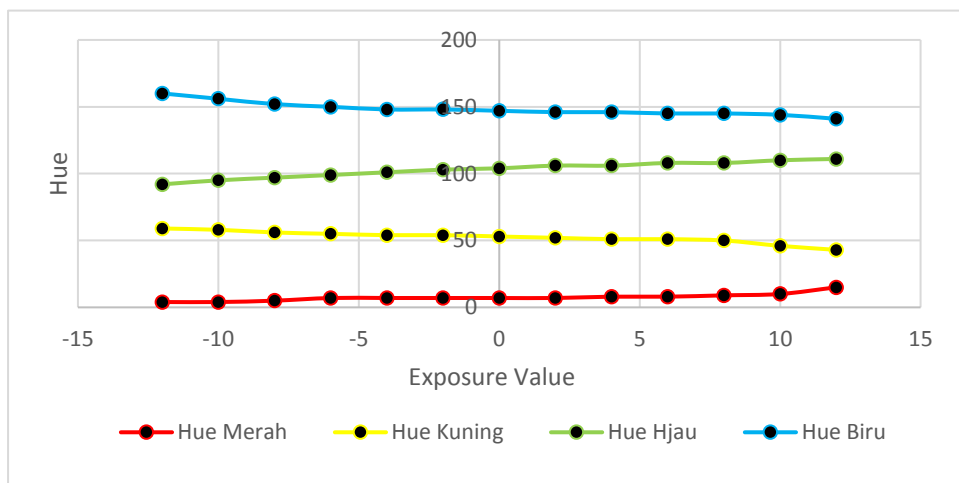
### HASIL DAN PEMBAHASAN

#### 4.1. Analisa Warna Model HSV Terhadap Perubahan Intensitas Cahaya

Pada sub-bab ini dibahas tentang data hasil pengambilan menggunakan perangkat android dengan program yang telah dibuat. Data yang diambil berupa hubungan antara properti masing-masing warna obyek (Hue, Saturation, Value) dengan nilai *exposure* maupun dengan intensitas cahaya.

##### 4.1.1. Nilai *Exposure* – Hue

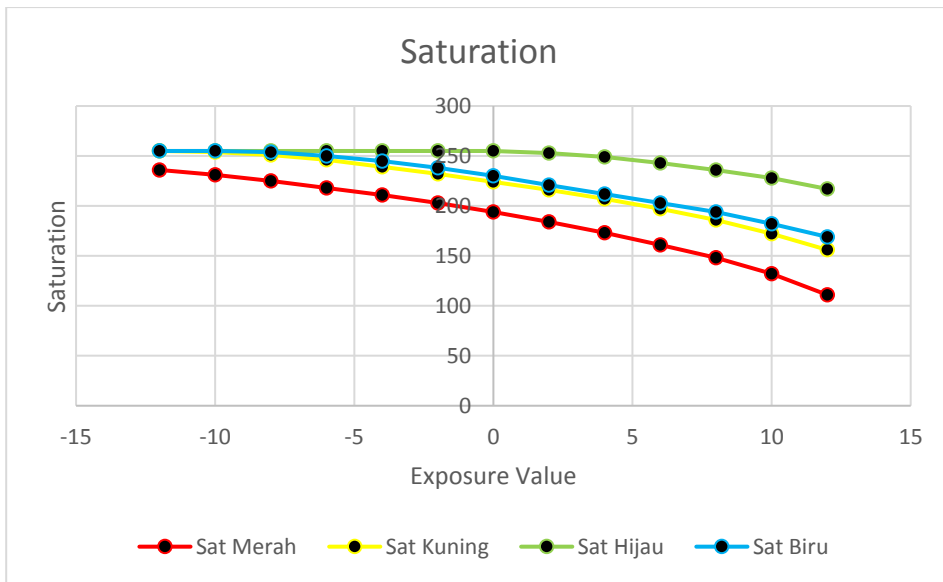
Pada Gambar 4.1 ditampilkan grafik hubungan antara nilai *exposure* pada perangkat android dengan nilai Hue (HSV) pada masing-masing obyek warna yang diamati. Pengambilan data dilakukan pada ruangan yang tertutup dengan kondisi cahaya sekitar yang cenderung stabil, dan dengan pengaturan *white balance* yang tetap, yaitu *daylight*. Terlihat dalam hubungan EV-Hue ini, perubahan pada *exposure* cenderung menyebabkan perubahan pada nilai Hue, namun tren yang terjadi berbeda-beda antar satu obyek warna dengan lainnya. Hal ini dapat disimpulkan, perubahan nilai Hue yang terjadi terhadap perubahan *exposure* perangkat bergantung dimana nilai Hue tersebut diacu.



Gambar 4. 1 Grafik respon Hue terhadap *exposure*

##### 4.1.2. Nilai *Exposure* – Saturation

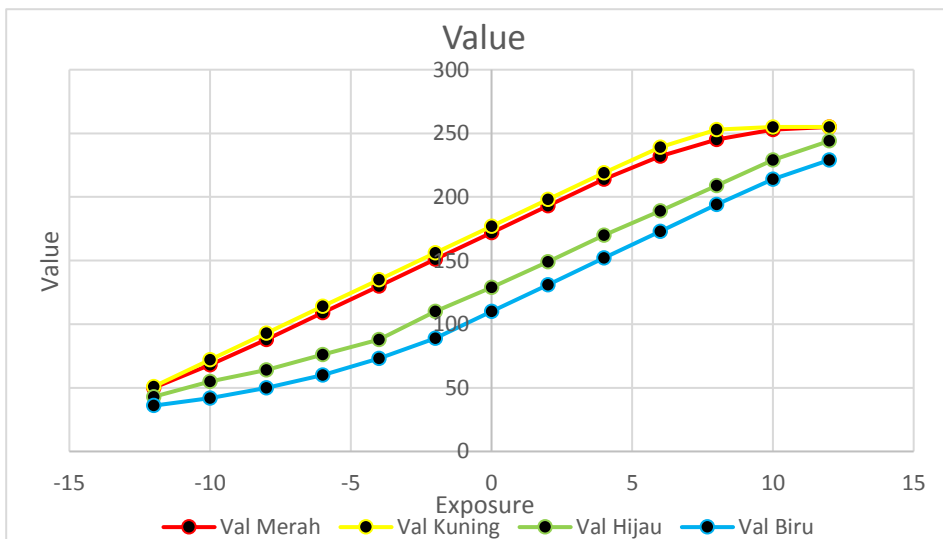
Pada Gambar 4.2 merupakan grafik yang menghubungkan nilai *exposure* pada perangkat android dengan nilai Saturation (HSV) dari masing-masing warna yang diamati. Nilai *exposure* yang tersedia pada android API (Application Program Interface) ialah berkisar antara -12 sampai 12, dimana semakin besar nilai *exposure* maka paparan terhadap cahaya juga semakin besar. Pada grafik EV-Saturation ini Nampak bahwa semakin besar nilai *exposure* (Exposure Value) maka semakin kecil nilai Saturation (HSV) dari masing-masing obyek warna.



**Gambar 4. 2** Grafik respon Saturation terhadap *exposure*

#### 4.1.3. Nilai *Exposure* – Value

Jika pada hasil data sebelumnya yaitu respon hubungan antara nilai *exposure* dengan Saturation berbanding terbalik, lain halnya dengan respon hubungan antara nilai *exposure* dengan Value (HSV). Seperti terlihat pada Gambar 4.3 semakin besar nilai *exposure* maka semakin besar pula nilai Value (HSV). Kurva yang terbentuk pada grafik ini cenderung berbentuk sigmoid, dimana tingkat perubahan semakin kecil jika mendekati batas bawah (0) atau atas (255) jika tiap channel berukuran 8-bit.

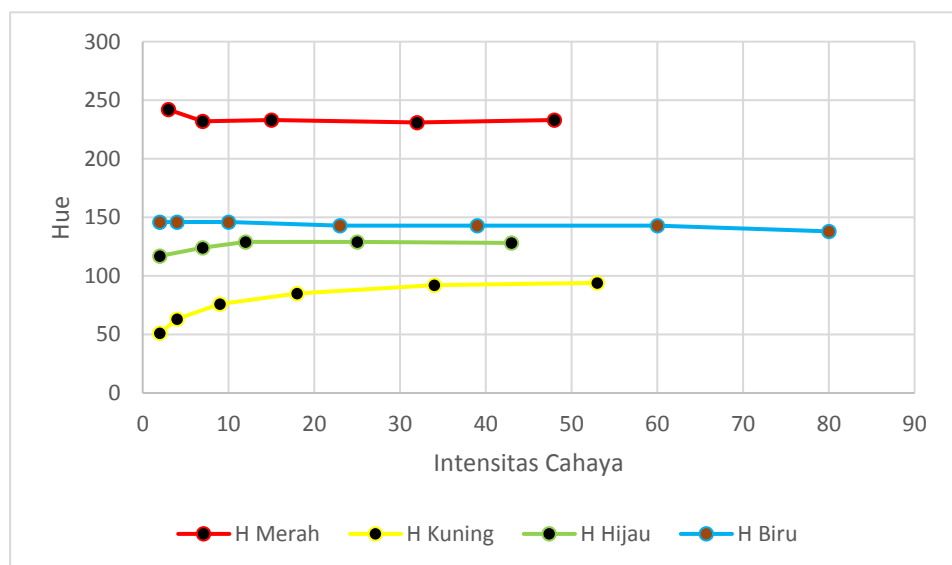


**Gambar 4. 3** Grafik respon Value terhadap *exposure*



#### 4.1.4. Intensitas Cahaya – Hue

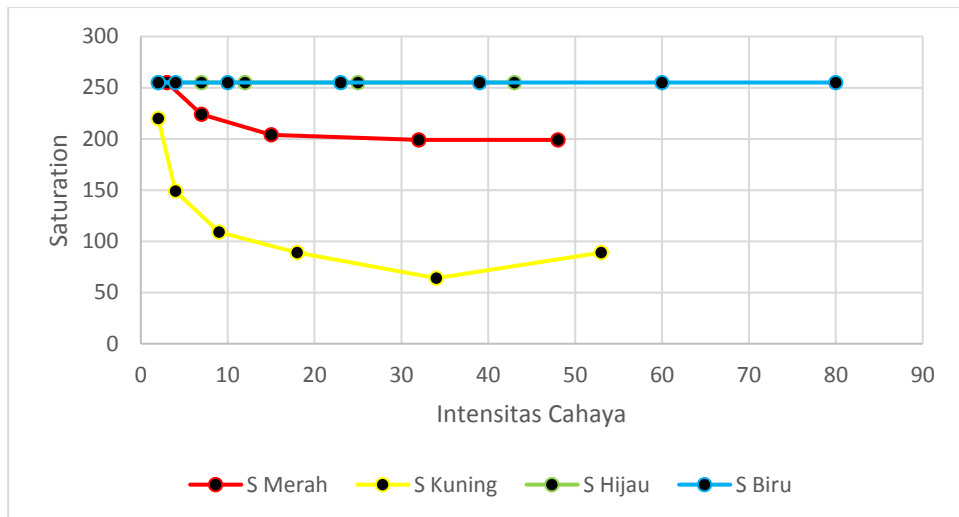
Pada gambar grafik sebelumnya telah disajikan mengenai hubungan antara masing-masing properti warna HSV dengan *exposure* pada perangkat yang mana juga merepresentasikan tingkat penerimaan cahaya. Pada grafik kali ini akan disajikan hubungan intensitas cahaya yang diukur menggunakan sensor cahaya yang memanfaatkan LDR (*Light Dependant Resistor*), dengan masing-masing properti model warna HSV. Dilakukan pada saat tertentu dan dengan *Exposure Value* yang tetap yaitu -2, dan pengaturan *White Balance* yang tetap pula yaitu kondisi *Daylight*. Terlihat di Gambar 4.4 pengaruh intensitas cahaya terhadap nilai Hue (HSV) tidak terlalu signifikan, dimana nilai Hue tetap berubah namun tidak bisa ditentukan apakah akan meningkat seiring bertambahnya intensitas cahaya atau sebaliknya. Seperti halnya pada subbab 4.1.1. berubahnya nilai Hue bergantung pada dimana nilai tersebut menjadi acuan.



Gambar 4. 4 Grafik respon Hue terhadap Intensitas Cahaya

#### 4.1.5. Intensitas Cahaya – Saturation

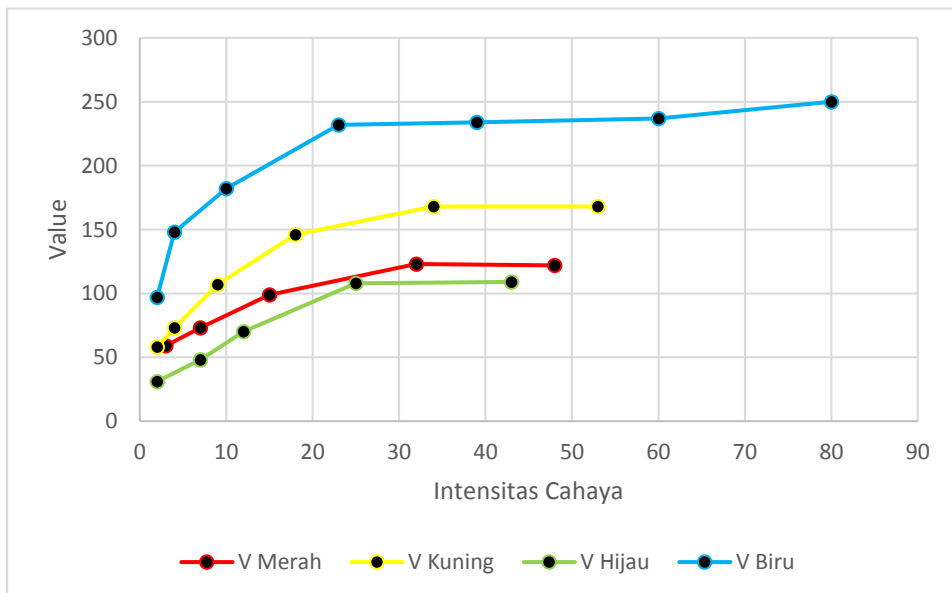
Pada Gambar 4.5. ditampilkan hasil pengambilan data yang menghubungkan nilai intensitas cahaya dengan nilai Saturation (HSV) pada saat waktu tertentu dan dengan nilai *exposure* yang tetap yaitu -2, dan dengan pengaturan *white balance* yang tetap, yaitu kondisi *daylight*. Terlihat di grafik untuk obyek berwarna merah dan kuning, semakin besar nilai intensitas cahaya maka semakin kecil nilai Saturation (HSV) yang terjadi. Namun, pada obyek percobaan berwarna hijau dan biru terdapat perbedaan, dimana nilai Saturation (HSV) yang terjadi cenderung tetap pada nilai atas (255) meskipun intensitas cahaya berubah. Hal ini dapat terjadi karena proses pengambilan data dilakukan pada *exposure* perangkat yang masih terlalu rendah dengan kondisi cahaya lingkungan yang tidak signifikan. Sehingga, perubahan nilai Saturation (HSV) pada obyek warna tersebut dimungkinkan tidak terjadi.



**Gambar 4. 5** Grafik respon Saturation terhadap Intensitas Cahaya

#### 4.1.6. Intensitas Cahaya – Value

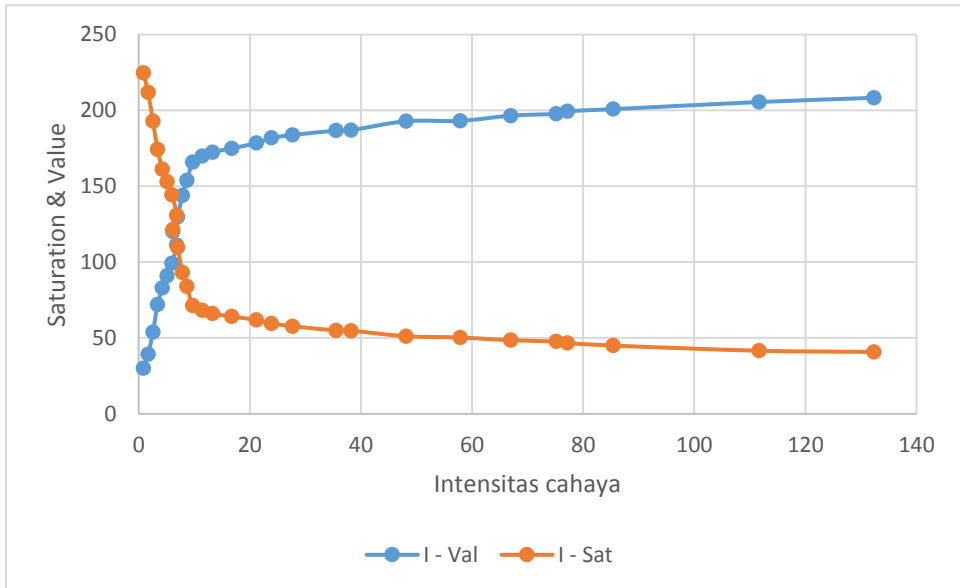
Pada Gambar 4.6 diperlihatkan hubungan antara respon Value (HSV) terhadap nilai intensitas cahaya dari sensor, dengan kondisi parameter nilai *exposure* dan *white balance* yang tetap. Dapat diamati dari grafik bahwa semakin terang atau tinggi intensitas cahaya, semakin besar pula nilai Value (HSV) dari suatu obyek. Sebagaimana ditunjukkan juga oleh kurva, semakin nilai Value (HSV) mendekati batas atasnya, maka cenderung semakin kecil tingkat perubahan atau *slope* yang terjadi.



**Gambar 4. 6** Grafik respon Value terhadap Intensitas Cahaya

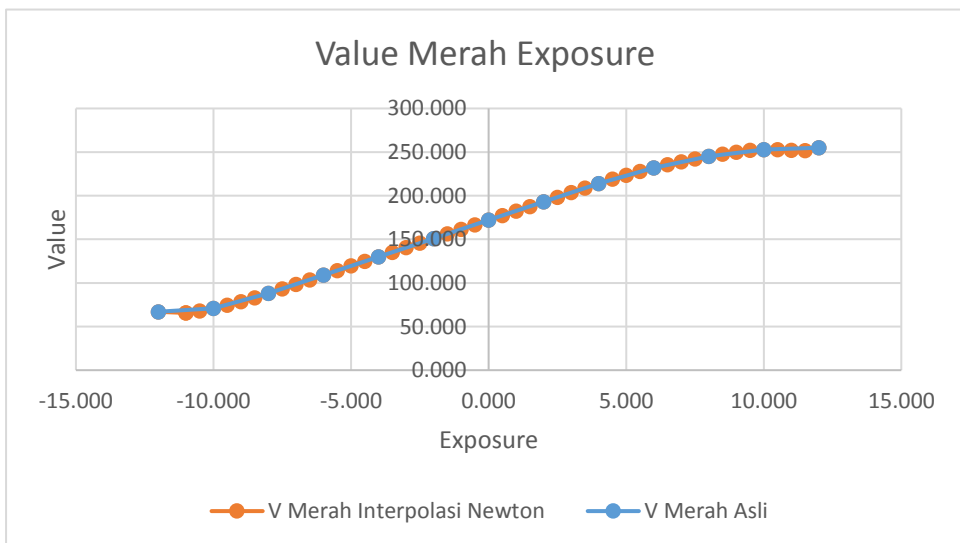
#### 4.1.7. Intensitas Cahaya – Average Saturation & Value (Kamera)

Hasil data pada subbab sebelumnya menunjukkan bahwa intensitas cahaya memiliki pengaruh yang signifikan terhadap Saturation dan Value pada model warna HSV. Oleh karena itu, perlu diamati pula bagaimana pengaruh nilai rata-rata Saturation dan Value dari seluruh pixel yang ditangkap oleh kamera. Terlihat pada Gambar 4.7 bahwasanya nilai Saturation dan Value rata-rata dari seluruh pixel cenderung simetris satu sama lain.

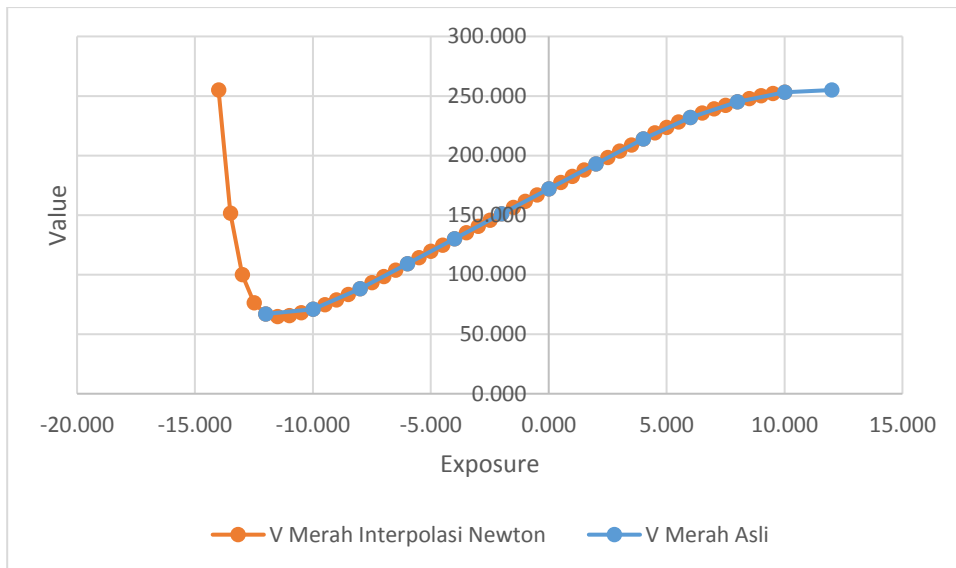


Gambar 4. 7 Grafik respon Saturation& Value terhadap Intensitas Cahaya

#### 4.1.8. Interpolasi Nilai *Exposure* – Value



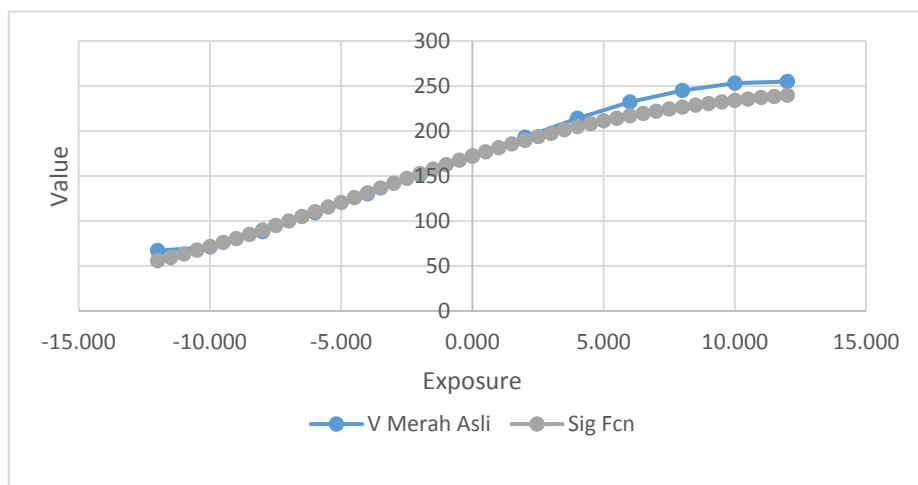
Gambar 4. 8 Grafik hasil interpolasi value terhadap exposure



**Gambar 4. 9** Pergeseran dengan mengubah nilai x untuk obyek lain

Pada Gambar 4.8 ditunjukkan hasil pencocokan kurva pada Value (HSV) merah terhadap nilai *exposure* menggunakan interpolasi polynomial. Dari metode tersebut dihasilkan fungsi  $y = 171.9 + 10.5*x + 0.065*x^2 + 0.0007735*x^3 + (-0.00382)*x^4 + (-0.0003141)*x^5 + 0.00002646*x^6 + 0.000002512*x^7 + -0.00000004662*x^8 - 0.000000008842*x^9$ , dengan y adalah Value (HSV) dan x adalah nilai *exposure*. Hasil perhitungan menggunakan metode interpolasi dapat dilihat dalam lampiran. Cara ini kurang tepat untuk digunakan pada data EV-Value yang telah didapat karena jika kurva digeser untuk obyek warna lain, hasil akan cenderung bernilai salah, seperti terlihat dalam Gambar 4.9, Karena memang interpolasi tidak tepat untuk memperkirakan nilai diluar batas penentuannya.

#### 4.1.9. Pencocokan Kurva Hyperbolic Tangent

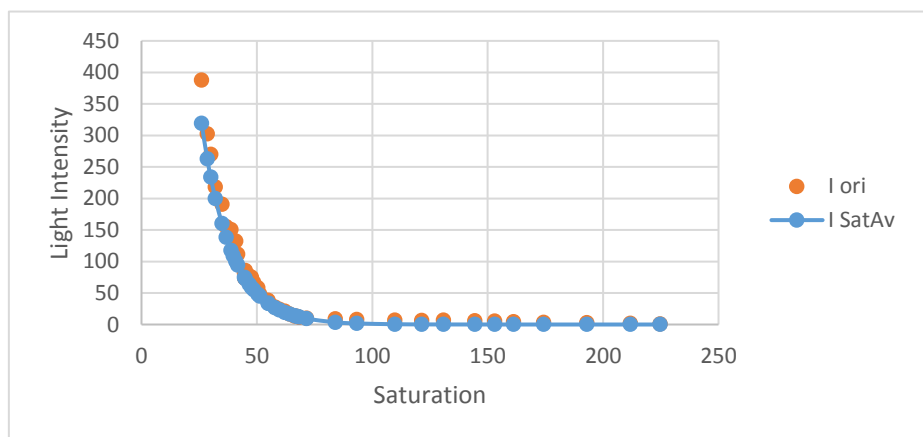


**Gambar 4. 10** Grafik fungsi hyperbolic tangent EV – Value

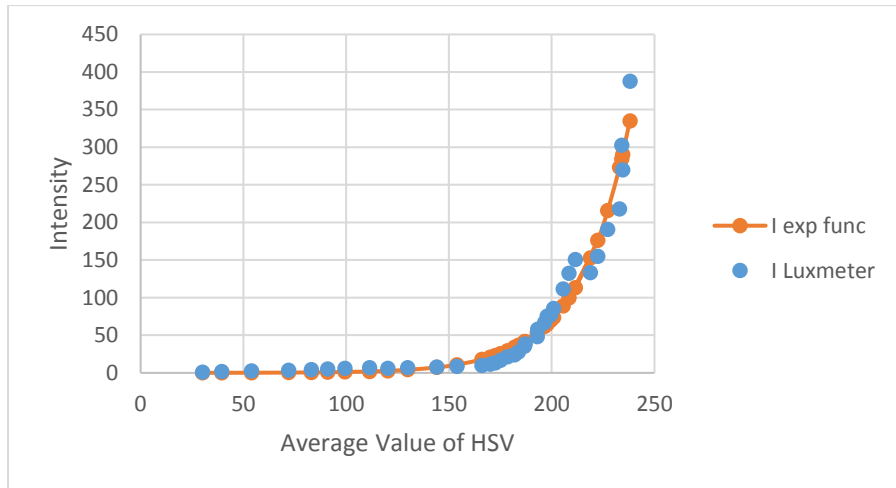
Metode pencocokan kurva lain yang coba dilakukan dalam skripsi ini ialah menggunakan Hyperbolic Tangent. Persamaan hyperbolic tangent disesuaikan gradien dan titik-titiknya dengan data yang telah didapat, seperti terlihat pada Gambar 4.9. Pada data hubungan nilai *exposure* dengan Value (HSV) obyek merah didapat fungsi  $y(x) = 128 * \text{TANH}(x * 0.084 + 0.368) + 127$ , dengan  $y$  adalah Value (HSV) dan  $x$  adalah nilai *exposure*. Melalui cara ini fungsi yang dihasilkan dapat digeser dengan mengurangi atau menambahkan  $x$  dengan variabel tertentu, sehingga dapat disesuaikan dengan Value (HSV) obyek lain. Untuk hubungan nilai *exposure* dengan nilai Saturation juga dapat menggunakan cara ini. Fungsi yang didapat untuk nilai Saturation (HSV) ialah  $y = 127 * -\text{TANH}(x * 0.07 + 0.28) + 128$ , dengan  $y$  adalah Value (HSV) dan  $x$  adalah nilai *exposure*.

#### 4.1.10. Exponential Curve Fitting

Data yang telah diperoleh pada Gambar 4.7 dapat digunakan untuk menentukan fungsi yang memperkirakan nilai intensitas cahaya melalui Saturation (HSV) atau Value (HSV) rata-rata seluruh pixel. Dari data yang didapat menunjukkan kurva yang menyerupai fungsi eksponensial, yang memiliki persamaan dasar  $y = e^x$ . Oleh karena itu, metode pencocokan kurva yang sesuai ialah menggunakan fungsi yang sama. Dari proses pencocokan kurva menggunakan metode ini diperoleh fungsi  $y = 0.0000055556 * e^{(0.07802 * (255 - x))}$ , dengan  $y$  adalah intensitas cahaya dan  $x$  adalah nilai Saturation (HSV), grafik dapat dilihat pada Gambar 4.11. Untuk perkiraan intensitas cahaya melalui rata-rata nilai Value (HSV), dapat menggunakan fungsi  $y = 0.0004885 * e^{(0.06007 * x)}$ , dengan  $y$  merupakan intensitas cahaya dan  $x$  merupakan nilai Value (HSV), grafik dapat dilihat dalam Gambar 4.12.



**Gambar 4. 11** Grafik fungsi eksponensial Saturation - I



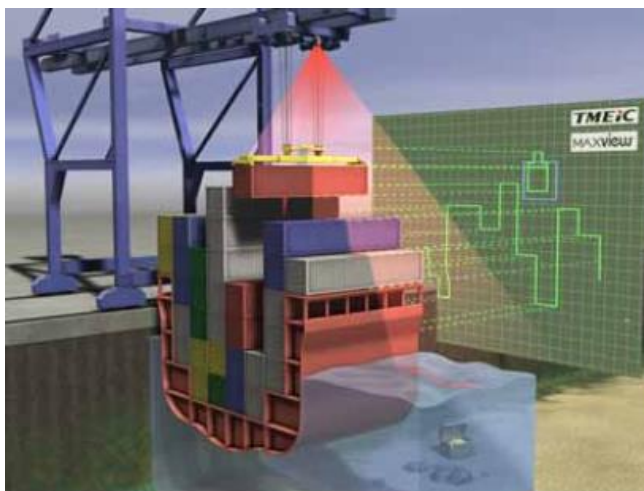
**Gambar 4. 12** Grafik fungsi eksponensial Value - I

## 4.2. Simulasi Penerapan

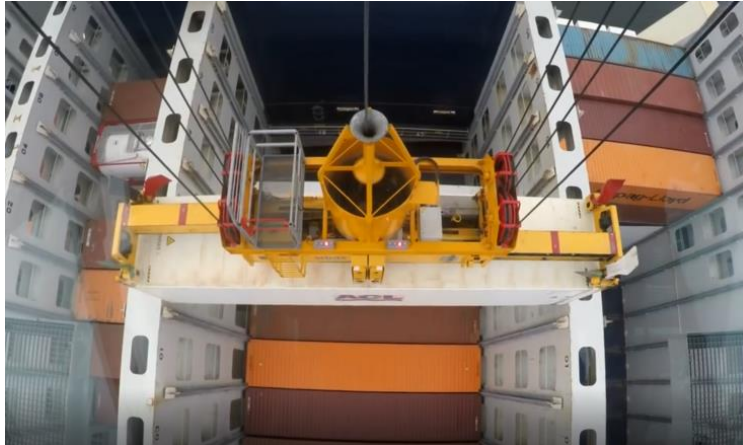
Pada sub-bab ini akan dibahas mengenai cara pendeteksian gerakan pada spreader pada sistem yang dicoba.

### 4.2.1. Peletakan Kamera dari Sistem

Pada sistem yang diusulkan, kamera diletakkan di sisi belakang troli, arah kamera menghadap ke penyebar, tempat yang sama seperti sensor laser TMEIC Maxview pada Gambar 4.13, namun agak sedikit ke belakang. Sudut pandang ini sama dengan tampilan operator pada crane yang dioperasikan secara manual. Melalui ini, rangkaian gambar atau video yang dihasilkan oleh kamera termasuk *spreader* dan kontainer dapat diamati sama dengan pandangan operator kabin, ditunjukkan oleh Gambar 4.14



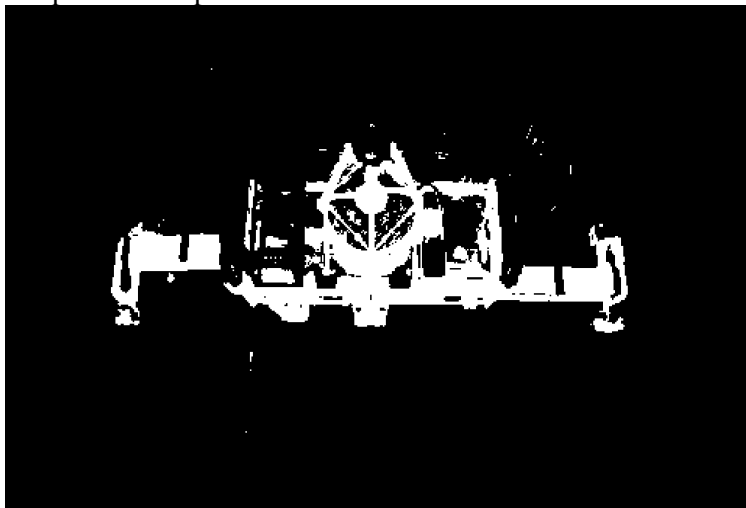
**Gambar 4. 13** Letak Laser pada crane TMEIC Maxview  
(TMEIC Corporation, 2017)



**Gambar 4. 14** Sudut pandang operator kabin  
<https://www.youtube.com/watch?v=vA0ejYk1s4k&t=101s>

#### 4.2.2. Thresholding

Thresholding adalah cara termudah untuk mensegment objek yang diinginkan, dengan cara ini citra biner dapat dihasilkan [11]. Pada OpenCV tugas ini bisa dilakukan hanya dengan memanggil fungsi `range`. Citra ambang batas HSV pada spreader Gambar 4.14 dapat ditunjukkan sebagai Gambar 4.15. Masalah dapat muncul saat rentang nilai batas terlalu sempit objek cenderung tidak terdeteksi, namun bila rentangnya terlalu lebar, piksel yang tidak diinginkan mungkin tetap muncul seperti Gambar 4.15.



**Gambar 4. 15** Thresholded Image

#### 4.2.3. Median Filter (Smoothing)

Ada beberapa cara untuk mengurangi piksel yang tidak diinginkan dari gambar. Cara sederhana untuk melakukan tugas ini adalah dengan metode smoothing. Jenis operator yang paling umum digunakan adalah filter linier, dimana nilai piksel keluaran ditentukan sebagai jumlah tertimbang dari nilai piksel. Berikut formula dari convolution filter:

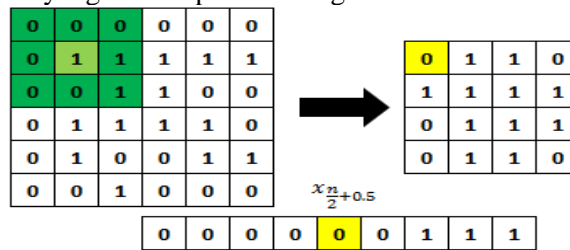
$$g = f \star h \quad (17)$$

$$g(i, j) = \sum_{k,l} f(i - k, j - l)h(k, l) \quad (18)$$

Ada berbagai macam filter, seperti Normalized Box Filter, Gaussian Filter, Median Filter, Bilateral Filter. Skripsi ini menggunakan Median Filter, karena cocok untuk noise seperti pada Gambar 4.15 yang merupakan citra biner. Cara ini tidak mensamarkan tepi seperti Gaussian Filter. Filter  $h(k, l)$  dari Filter Median harus mengikuti persamaan ini:

$$Me = \uparrow x_{\frac{n}{2}+0.5} \quad (19)$$

Operasi menggunakan persamaan tersebut karena matriks kernel selalu berupa jumlah ganjil. Seperti ditunjukkan Gambar 4.16, masukan matriks biner 6x6 dilingkupi oleh Median Filter bermatrik 3x3, menghasilkan nilai pada koordinat piksel anchor (ditunjukkan dengan highlight kuning). Di OpenCV Median Blur dilakukan dengan memanggil fungsi `medianBlur`. Gambar 4.17 merupakan gambar yang telah diproses dari gambar 4.15.



Gambar 4. 16 Ilustrasi median filtering

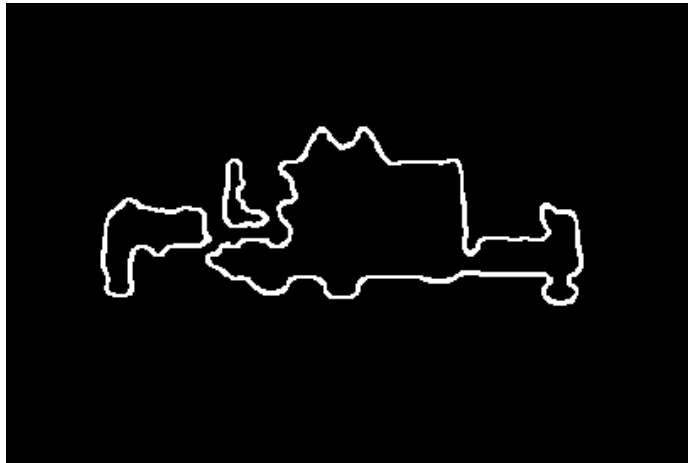


Gambar 4. 17 Thresholded Image dengan Median Filter



#### 4.2.4 Find Contours

Kontur merupakan kurva yang menggabungkan semua titik secara kontinu. Menemukan kontur adalah hal yang berguna dalam analisis bentuk dan pengenalan objek [11]. Skripsi ini menggunakan fungsi `findContours` OpenCV untuk mendapatkan kontur dari gambar biner. Seperti ditunjukkan pada gambar 4.18, cara kerja fungsi ini ialah dengan menemukan pixel putih dari background hitam. Gambar biner dari Gambar 4.16 diubah menjadi tiga grup garis isolasi, disebut kontur. Setiap kontur memiliki fitur indeks dan hierarki yang membuat gambar lebih mudah dianalisis.



**Gambar 4. 18** Keluaran kontur dari image biner

#### 4.2.5. Contour Area

Memperkirakan area kontur diperlukan untuk proses lebih lanjut, seperti perkiraan posisi relatif *spreader* terhadap troli, apakah akan turun atau naik. Untuk mendapatkan nilai area kontur, dalam tugas akhir ini menggunakan fungsi `contourArea` dari library OpenCV. Fungsi ini menghitung daerah dengan memanfaatkan teorema Green [11]. Hal ini memberikan hubungan antara integral garis di sekitar kurva tertutup sederhana (kontur)  $C$  dan integral ganda di atas bidang  $D$  yang dibatasi oleh kontur tersebut, jika  $L$  dan  $M$  adalah fungsi  $(x, y)$  yang didefinisikan Pada daerah terbuka yang mengandung  $D$  dan memiliki turunan parsial kontinyu di sana, maka relasinya ditunjukkan oleh persamaan berikut.

$$\oint_C Ldx + Mdy = \iint_D \left( \frac{\partial M}{\partial x} - \frac{\partial L}{\partial y} \right) dxdy \quad (20)$$

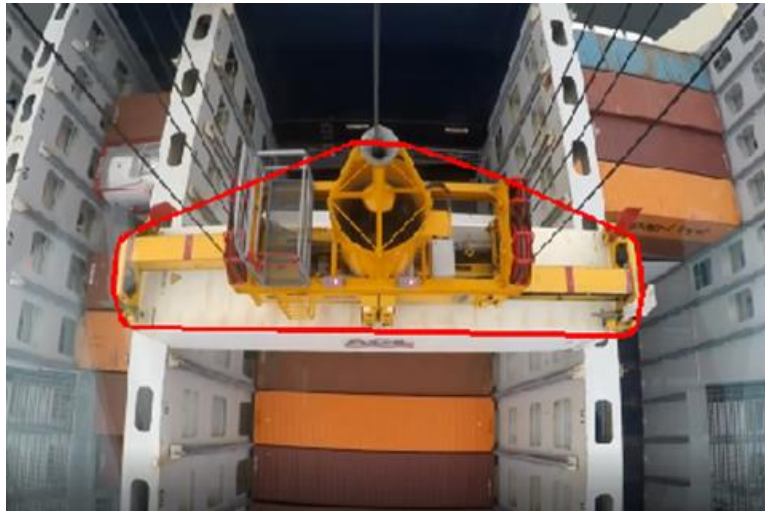
#### 4.2.6. Convex Hull Area

Untuk menyatukan dan menyelubungi semua kontur yang telah dihasilkan, maka fungsi `convexHull` dari OpenCV dapat digunakan. Convex hull adalah bentuk penyatuan kontur yang dihubungkan garis dengan menyambungkan titik

kontur terluar. Dalam hal ini convex hull dapat divisualisasikan sebagai bentuk yang menghubungkan kontur yang telah didapat sebelumnya, dapat dilihat pada Gambar 4.19.



(a)



(b)

**Gambar 4. 19** Convex hull dari kontur ditampilkan dalam image biner (a) dan input (b)

#### 4.2.7. Find Spreader Edge

Convex hull pada Gambar 4.10 ikut menghitung kontur drum kabel, bentuk ke atas meruncing. Untuk menghindari hal ini dan agar deteksi menjadi lebih mudah, setiap titik tepi penyebar harus diperoleh. Makalah ini menggunakan beberapa algoritma untuk mendapatkan setiap titik tepi yang dapat berguna untuk proses selanjutnya, yaitu upper-uppermost (LU), right-uppermost (RU), left-bottommost (LB), dan right-bottommost (RB). Setiap titik kontur P dibandingkan

dengan sisi berlawanan pada ujung bingkai, hitung panjang antara dua titik itu, dan titik terpanjang dari ujung bingkai dapat dianggap sebagai tepi yang diinginkan. Sebagai contoh, dengan panjang frame 480px, lebar 320px, dan L sebagai panjang titik yang diperiksa P ke ujung frame yang berlawanan E, cara ini bisa diformulasikan sebagai berikut:

$$L(P, E) = \sqrt{(Px - Ex)^2 + (Py - Ey)^2} \quad (21)$$

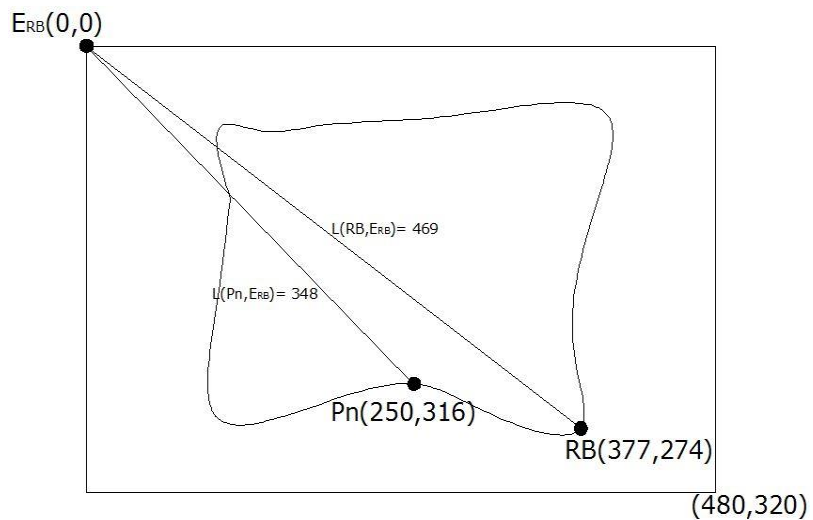
$$RB_{(x,y)} = \begin{cases} P, & \text{if } L(P, E_{RB}) > L(RB, E_{RB}) \\ RB, & \text{otherwise} \end{cases} \quad (22)$$

$$LB_{(x,y)} = \begin{cases} P, & \text{if } L(P, E_{LB}) > L(RB, E_{LB}) \\ LB, & \text{otherwise} \end{cases} \quad (23)$$

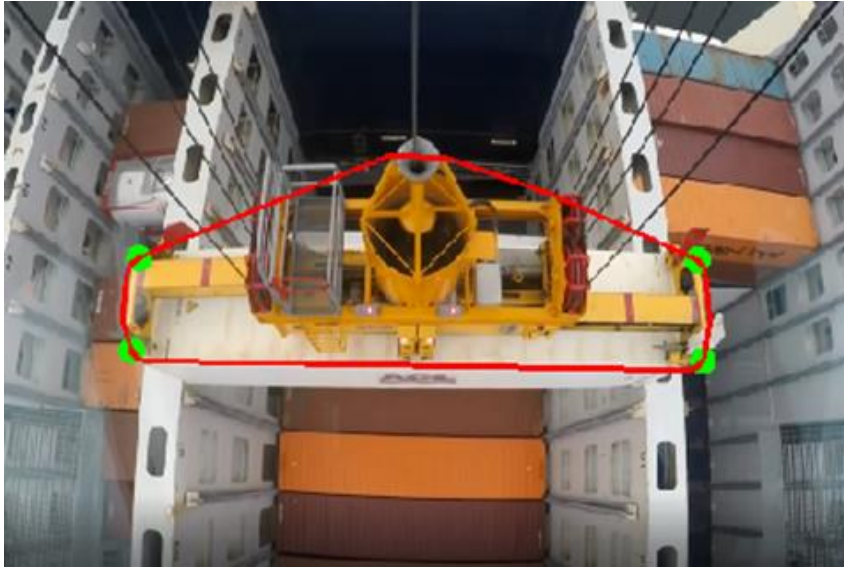
$$RU_{(x,y)} = \begin{cases} P, & \text{if } L(P, E_{RU}) > L(RB, E_{RU}) \\ RU, & \text{otherwise} \end{cases} \quad (24)$$

$$LU_{(x,y)} = \begin{cases} P, & \text{if } L(P, E_{LU}) > L(RB, E_{LU}) \\ LU, & \text{otherwise} \end{cases} \quad (25)$$

Pada persamaan tersebut, sisi berlawanan dari RB kanan-paling bawah adalah ERB (0,0), sedangkan sisi berlawanan LU, RU, LB adalah ELU (480,320), ERU (0,320), ELB (480,0). Dengan cara ini diilustrasikan oleh Gambar 10, untuk menemukan RB kanan-bawah, panjang masing-masing titik ke ERB frame yang berlawanan (menggunakan Persamaan) dibandingkan, nilai terpanjang yang dianggap sebagai BPR, ilustrasi ditunjukkan oleh Gambar 4. 20. Implementasi algoritma ini ditunjukkan pada Gambar 4. 21.



**Gambar 4. 20** Ilustrasi algoritma pencari sisi



**Gambar 4. 21** Penerapan algoritma pencari sisi

#### 4.2.8. Making Line

Setelah menemukan titik-titik pada ujung spreader, bisa dibuat garis dari satu sisi ke tepi lainnya. Untuk menarik garis, tugas kahir ini menggunakan fungsi OpenCV `line`, dilakukan dengan menggambar garis dari satu titik yang ditentukan ke titik lain. Karena titik tepi sudah diperoleh, garis bisa dibuat, ditunjukkan seperti Gambar 4. 22.



(a)

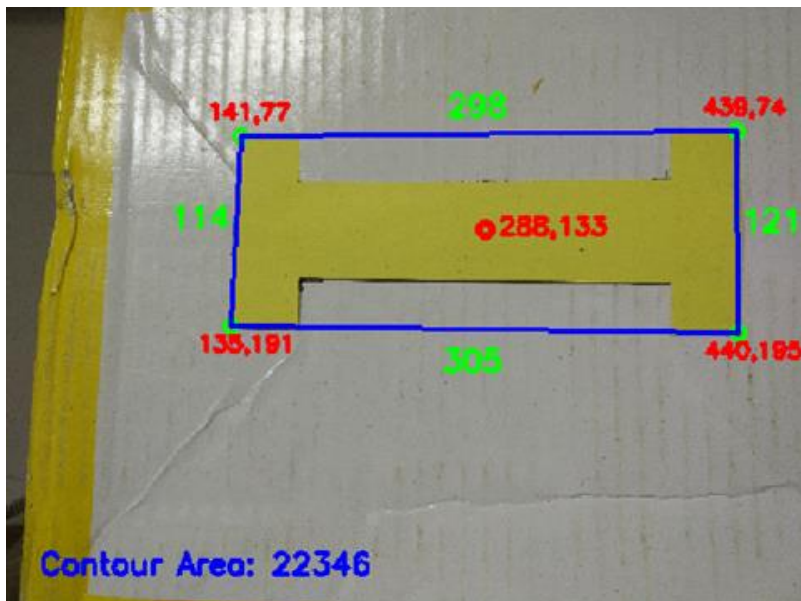


(b)

Gambar 4. 22 Bounded line dari satu titik ke titik lain

#### 4.2.9. Center Point Displacement

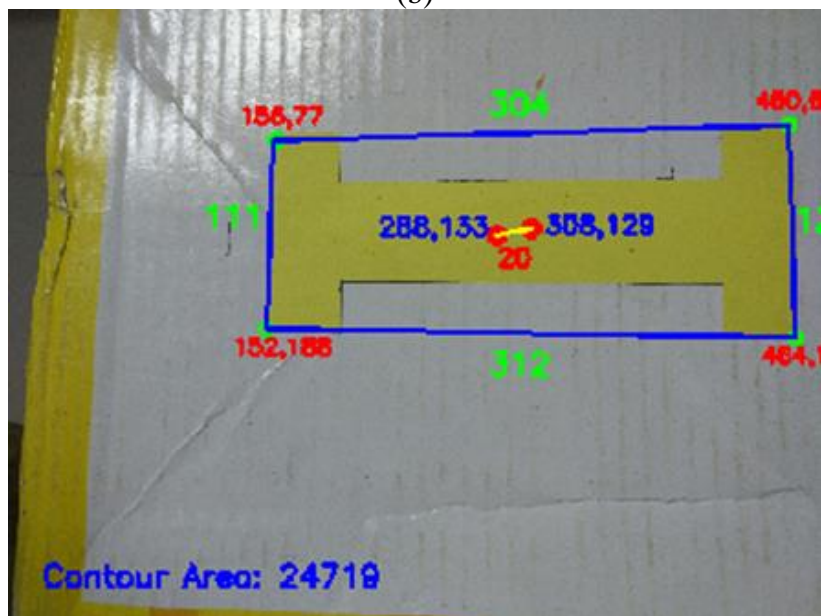
Dengan dilakukannya perhitungan jarak titik tengah objek ke titik referensi, dapat dideteksi perpindahan objek. Seperti ditunjukkan pada Gambar 4. 23 (b) dan (c), dari pandangan kamera obyek telah berpindah sejauh 47 pixel pada (b) dan 20 pixel pada (c) dari titik referensi (a). Dengan adanya garis yang menghubungkan titik tersebut, dapat dideteksi pula arah perpindahan suatu obyek. Perpindahan ini nantinya dapat bermanfaat untuk menganalisis tingkat *sway* pada *spreader*.



(a)



(b)



(c)

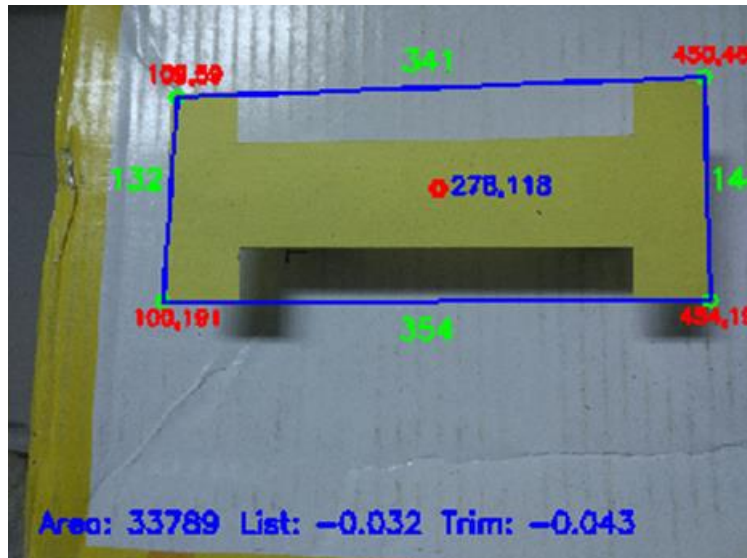
**Gambar 4. 23** Simulasi perpindahan posisi dari referensi (a) ke posisi (b) dan (c)

#### 4.2.10. Vertical Displacement

Area kontur objek bisa mewakili jarak ke kamera. Jika area menjadi semakin besar, dapat diperkirakan bahwa objek semakin dekat dengan kamera, dan jika area menjadi semakin kecil, dapat disimpulkan bahwa objek semakin jauh



dengan kamera, ilustrasi dapat dilihat dari perbandingan Gambar 4. 23 (a) dengan Gambar 4. 24. Pada kondisi tertentu, sebenarnya titik pusat objek juga bisa mewakili jarak vertikal jika kamera tidak tepat mengarah ke tengah, tapi cara ini bisa salah persepsi jika objeknya cenderung bergerak secara horisontal. Karena kamera berada di troli yang menghadap ke *spreader*, jarak antara kamera dan troli bisa diestimasi.

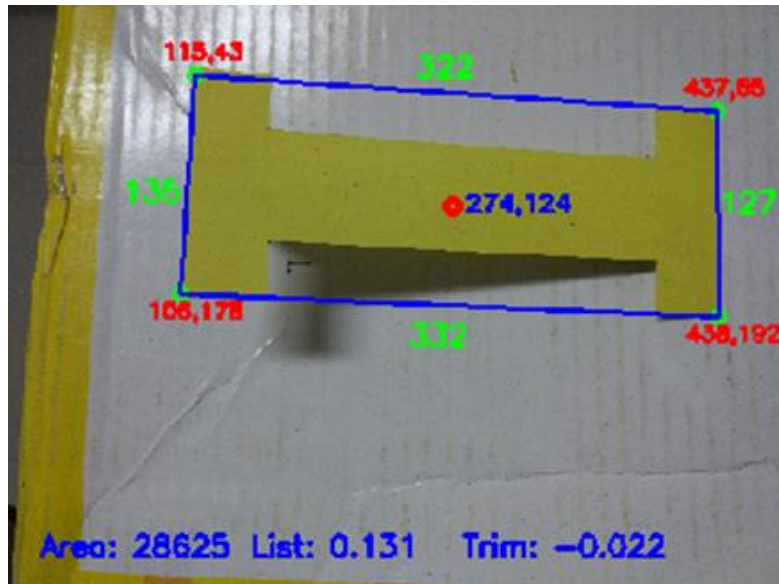


Gambar 4. 24 Simulasi gerakan vertikal

#### 4.2.11. List

List dapat diamati dengan membandingkan panjang sisi yang bersangkutan, untuk mendapatkan rasionya. Perbandingan ini kemudian dihitung untuk mendapatkan perbedaan dengan rasio referensi. Algoritma ini diimplementasikan pada Gambar 4.25 yang mana dibandingkan dengan referensi pada Gambar 4. 23 (a), dan melalui percobaan hal ini dapat mewakili perubahan list. Algoritma ini menyatakan bahwa nilai list yang menjauh dari nol adalah derajat list yang lebih besar. Untuk mendapatkan nilai standar yang dapat diimplementasikan pada aplikasi spreader crane, metode ini harus dianalisis lebih lanjut baik dengan metode eksperimen nyata atau teori fisika.

$$List = \left( \frac{L1_0}{L2_0} - \frac{L1}{L2} \right) * \text{scalar} \quad (26)$$

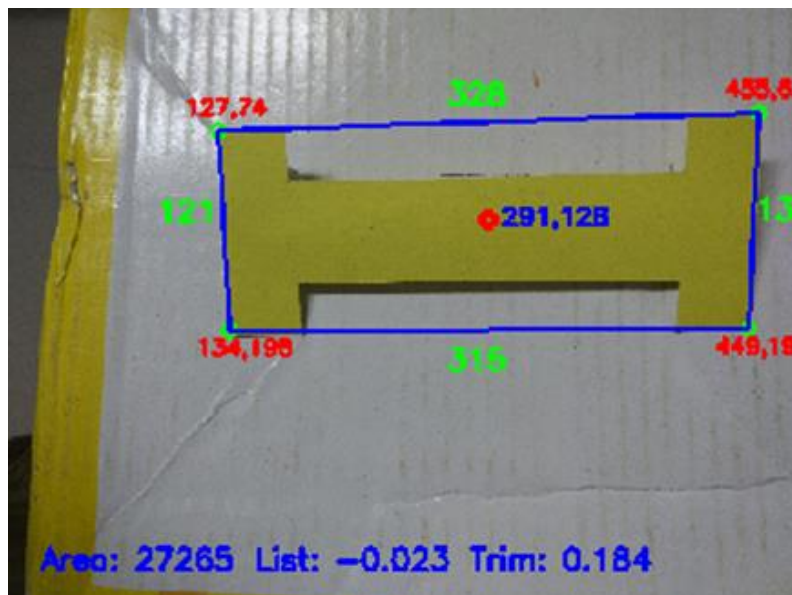


Gambar 4. 25 Simulasi list

#### 4.2.12. Trim

Sama seperti list, trim diamati oleh kedua panjang sisi yang bersangkutan untuk mendapatkan rasio. Algoritma diimplementasikan pada Gambar 4. 26 dengan perbandingannya dari Gambar 4. 23 (a). Nilai trim yang menjauh dari nol menyatakan bahwa tingkat trim yang lebih besar terjadi.

$$Trim = \left( \frac{L3_0}{L4_0} - \frac{L3}{L4} \right) * scalar \quad (27)$$



Gambar 4. 26 Simulasi trim



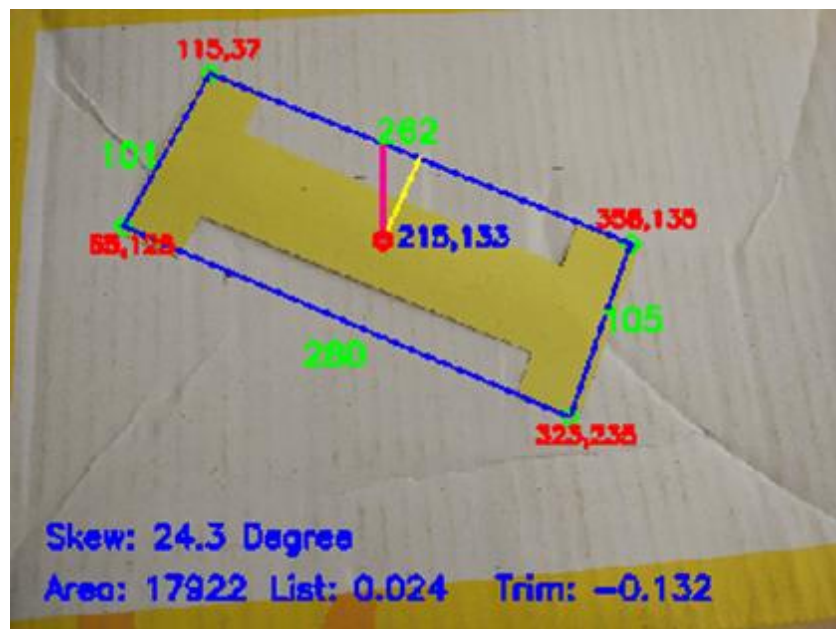
#### 4.2.13. Skewness

Untuk mengamati kemiringan objek atau skewness, sudut harus diperoleh terlebih dahulu. Kemudian, perbedaan pada sudut referensi dapat dihitung, seperti yang dirumuskan dalam persamaan berikut.

$$\theta = \sin^{-1} \frac{y}{r} \text{ rad} = \sin^{-1} \frac{y}{r} * \frac{360}{2\pi} \text{ degree} \quad (28)$$

$$\text{Skewness} = \theta_1 - \theta_0 \quad (29)$$

Implementasi algoritma ini ditunjukkan pada percobaan Gambar 4.27 dengan perbandingannya dari Gambar 4.23 (a). Ini mungkin berguna untuk diterapkan pada *spreader* crane, karena hanya menggunakan satu sensor, berbeda dengan sensor inframerah yang paling tidak membutuhkan dua set sensor untuk mendeteksi ini.



Gambar 4. 27 Simulasi skewness

*Halaman ini sengaja dikosongkan*

## BAB V

### KESIMPULAN DAN SARAN

#### 5.1. Kesimpulan

Berdasarkan hasil dan pembahasan dari tugas akhir yang telah dibuat, dapat diambil beberapa kesimpulan, yaitu:

1. Peningkatan intensitas cahaya mengakibatkan meningkatnya nilai Saturation dan menurunnya nilai Value pada model warna HSV. Sedangkan pengaruh cahaya terhadap nilai Hue bergantung pada letak dimana Hue pertama kali diacu.
2. Hubungan antara tingkat *Exposure* obyek dengan nilai Value (HSV) dapat diperkirakan dengan fungsi  $y = 128 * \text{TANH}(x * 0.084 + 0.368) + 128$ , dimana  $y$  merupakan Value (HSV) dan  $x$  merupakan tingkat *exposure*. Hubungan antara tingkat *Exposure* obyek dengan nilai Saturation (HSV) dapat diperkirakan dengan fungsi  $y = 127 * -\text{TANH}(x * 0.07 + 0.28) + 128$ , yang mana  $y$  merupakan Value (HSV) dan  $x$  merupakan tingkat *exposure*.
3. Hubungan antara Intensitas Cahaya dengan rata-rata Value (HSV) seluruh pixel dapat diperkirakan dengan fungsi eksponensial  $y = 0.0004885 * e^{(0.06007 * X)}$ . Dimana  $y$  = Intensitas Cahaya dan  $x$  = rata-rata nilai saturation. Sedangkan, antara Intensitas cahaya dengan Saturation (HSV) dapat diperkirakan dengan fungsi  $y = 0.0000055556 * e^{(0.07802 * (255 - X))}$  dimana  $y$  = intensitas cahaya dan  $x$  = nilai Saturation HSV. Melalui persamaan ini dapat diketahui respon perubahan cahaya semata-mata hanya dengan mengetahui rata-rata nilai Saturation ataupun Value dari keseluruhan pixel.
4. Penerapan *computer vision* untuk *crane spreader* dapat dilakukan dengan menganalisa garis dan titik yang melingkupi crane untuk deteksi tingkat *trim* dan *list*. Area kontur untuk perpindahan posisi vertikal. Titik pusat untuk perpindahan horizontal, juga untuk parameter swaying. Dan perpindahan sudut *spreader* untuk tingkat skew.

#### 5.2. Saran

Saran untuk penelitian selanjutnya diharapkan data gerakan yang dihasilkan menggunakan pengolahan citra pada skripsi ini, dapat dianalisa atau dilakukan eksperimen sebagai parameter input kontrol untuk penerapan crane.

*Halaman ini sengaja dikosongkan*

## DAFTAR PUSTAKA

- [1] R. C. Gonzalez and R. E. Woods, Digital Image Processing, Prentice Hall, 2008.
- [2] W. Burger and M. J. Burge, Digital Image Processing: An Algorithmic Approach Using Java, Springer-Verlag, 2008.
- [3] M. Sonka, V. Hlavac and R. Boyle, Image Processing, Analysis, and Machine Vision, Ontario (CA): Thomson, 2008.
- [4] D. A. Forsyth and J. Ponce, Computer Vision: A Modern Approach, New Jersey, NJ (USA): Prentice Hall, 2003.
- [5] G. Bradski and A. Kaehler, Learning OpenCV: Computer Vision with the OpenCV Library, 1st ed., Sebastopol, CA: O'Reilly Media, 2008.
- [6] mhstekkomp, "mhstekkomp," [Online]. Available: <https://mhstekkomp.wordpress.com/2011/05/07/representasi-model-warna-rgb-menggunakan-hsl-dan-hsv/>. [Accessed 6 February 2017].
- [7] D. Travis, Color Displays, Theory and Practice, Cambridge, Massachusetts: Academic Press, 1991.
- [8] Wikipedia, "Curve Fitting," Wikipedia, [Online]. Available: [https://en.wikipedia.org/wiki/Curve\\_fitting#cite\\_note-1](https://en.wikipedia.org/wiki/Curve_fitting#cite_note-1). [Accessed 20 7 2017].
- [9] Wikipedia, "Interpolation," Wikipedia, 19 May 2017. [Online]. Available: <https://en.wikipedia.org/wiki/Interpolation>. [Accessed 28 July 2017].
- [10] Mathworks, "Curve Fitting Toolbox," The Mathworks, inc, [Online]. Available: <https://www.mathworks.com/products/curvefitting.html>. [Accessed 28 July 2017].
- [11] A. Huaman and T. Tsemelis, "OpenCV Imgproc Module," OpenCV, [Online]. Available: [http://docs.opencv.org/3.1.0/d7/da8/tutorial\\_table\\_of\\_content\\_imgproc.html](http://docs.opencv.org/3.1.0/d7/da8/tutorial_table_of_content_imgproc.html). [Accessed 15 July 2017].
- [12] R. Szeliski, Computer Vision Algorithms and Applications, New York: Springer-Verlag, 2010.
- [13] Wikipedia, "Crane (machine)," Wikipedia, 20 July 2017. [Online]. Available: [https://en.wikipedia.org/wiki/Crane\\_\(machine\)](https://en.wikipedia.org/wiki/Crane_(machine)). [Accessed 28 July 2017].
- [14] TMEIC, "The Maxview Smart Landing System," TMEIC Corporation, Tokyo, 2017.
- [15] K. Obata, K. Uchida, T. Chikura, H. Yhosikawa and T. Monzen, "Automated Transfer Crane," *Mitsubishi Heavy Industries, Ltd. Technical Review*, vol. 40, no. 2, pp. 1-5, January 2003.
- [16] J. Hollingsworth, "A Beginner's Guide for Manual Controls in iPhone Photography: Exposure," Camera+, 24 October 2014. [Online]. Available: <http://snapsnapsnap.photos/a-beginners-guide-for-manual-controls-in-iphone-photography-exposure/>. [Accessed 28 July 2017].

*Halaman ini sengaja dikosongkan*

LAMPIRAN

• Data HSV-EV

No.	Exp	WB	Objek 1 (Merah)						Objek 2 (Kuning)						Objek 4 (Hijau)						Objek 6 (Biru)					
			Hmid1	Smid1	Vmid1	Hmid2	Smid2	Vmid2	Hmid1	Smid1	Vmid1	Hmid2	Smid2	Vmid2	Hmid1	Smid1	Vmid1	Hmid2	Smid2	Vmid2	Hmid1	Smid1	Vmid1	Hmid2	Smid2	Vmid2
1	-12	DL	4	236	67	4.5	253.5	53	59	255	51	59.5	253.5	58.5	92	255	43	91	255	33	160	255	36	161.5	255	22.5
2	-10	DL	4	231	71	4.5	251.5	69	58	254	72	58.5	253	70.5	95	255	55	91	255	42	156	255	42	159.5	255	26.5
5	-8	DL	5	225	88	4.5	247.5	84.5	56	251	93	56.5	252	83	97	255	64	91.5	255	52.5	152	254	50	157.5	254	33
7	-6	DL	7	218	109	5.5	242.5	100	55	246	114	55.5	249	99	99	255	76	93.5	255	64	150	250	60	155.5	251.5	43
9	-4	DL	7	211	130	7.5	237	117.5	54	239	135	55	244.5	118	101	255	88	95.5	253	75	148	245	73	152	247	55.5
11	-2	DL	7	203	151	7.5	228.5	136.5	54	232	156	54.5	240	137	103	255	110	97.5	250	91	148	238	89	149.5	241.5	72.5
13	0	DL	7	194	172	8	219.5	156	53	224	177	53.5	235.5	157.5	104	255	129	101.5	245	109	147	230	110	148.5	236	90
15	2	DL	7	184	193	8	209.5	175.5	52	216	198	52.5	230.5	177.5	106	253	149	103.5	240	129	146	221	131	148	229.5	108
17	4	DL	8	173	214	8.5	198	193	51	207	219	52	226	197.5	106	249	170	105	235	147.5	146	212	152	147.5	221	127.5
19	6	DL	8	161	232	9.5	184.5	209.5	51	197	239	51	220.5	216.5	108	243	189	105.5	230	168.5	145	203	173	147.5	209.5	149
21	8	DL	9	148	245	10	170	222	50	186	253	49.5	213.5	231.5	108	236	209	105.5	224	196	145	194	194	146.5	198	169.5
23	10	DL	10	132	253	13	152.5	229	46	172	255	47	200	240	110	228	229	106	216	215	144	182	214	143.5	184	190
25	12	DL	15	111	255	13.5	131	231.5	43	156	255	46.5	178.5	246.5	111	217	244	109	200	230.5	141	169	229	143	168.5	206

No.	Exp	WB	Objek 1 (Merah)						Objek 2 (Kuning)						Objek 4 (Hijau)						Objek 6 (Biru)					
			Hmin	Hmax	Smin	Smax	Vmin	Vmax	Hmin	Hmax	Smin	Smax	Vmin	Vmax	Hmin	Hmax	Smin	Smax	Vmin	Vmax	Hmin	Hmax	Smin	Smax	Vmin	Vmax
1	-12	DL	0	9	252	255	27	79	55	64	252	255	42	75	85	97	255	255	16	50	153	170	255	255	5	40
2	-10	DL	0	9	248	255	38	100	55	62	251	255	46	95	82	100	255	255	22	62	149	170	255	255	7	46
5	-8	DL	0	9	240	255	48	121	54	59	249	255	51	115	82	101	255	255	31	74	147	168	253	255	11	55
7	-6	DL	0	11	230	255	60	140	51	60	243	255	64	134	86	101	255	255	42	86	146	165	248	255	19	67
9	-4	DL	2	13	219	255	76	159	51	59	234	255	84	152	88	103	251	255	51	99	146	158	239	255	29	82
11	-2	DL	2	13	208	249	95	178	52	57	225	255	104	170	89	106	245	255	61	121	144	155	228	255	43	102
13	0	DL	2	14	197	242	115	197	51	56	216	255	125	190	95	108	235	255	75	143	144	153	217	255	57	123
15	2	DL	2	14	184	235	135	216	51	54	206	255	146	209	97	110	225	255	93	165	144	152	206	253	72	144
17	4	DL	2	15	170	226	153	233	49	55	197	255	167	228	102	108	215	255	110	185	144	151	195	247	88	167
19	6	DL	3	16	154	215	172	247	49	53	186	255	188	245	102	109	205	255	131	206	144	151	183	236	108	190
21	8	DL	3	17	136	204	191	253	48	51	172	255	208	255	102	109	194	254	165	227	143	150	171	225	130	209
23	10	DL	3	23	116	189	203	255	44	50	154	246	225	255	100	112	183	249	187	243	136	151	158	210	152	228
25	12	DL	6	21	96	166	208	255	42	51	131	226	238	255	104	114	172	228	206	255	135	151	144	193	168	244

- **Data Hubungan HSV rata-rata pixel dengan Intensitas Cahya**

HueVal	SatVal	AvVal	I1	I2	ExpVal
28	26	238	387.8	663	-2
30	28.5	234	302.41	518	-2
31.46	30	234.5	269.96	462	-2
32.9	32	233	217.88	374	-2
34.38	34.82	227.23	190.73	326	-2
35.55	36.7	222.27	155.04	268	-2
38	38.78	211.4	150.62	252	-2
37.15	39.77	218.77	133	235	-2
38.77	40.83	208.3	132.33	227	-2
39.42	41.64	205.55	111.66	192	-2
39.65	45	200.83	85.376	145	-2
40	46.7	199.5	77.18	130	-2
40.26	47.7	197.77	75.136	124	-2
40.4	48.54	196.55	66.944	109	-2
41.3	50.35	193.14	57.888	93	-2
41.7	51.2	192.9	48.16	78	-2
41.9	54.8	187	38.255	61	-2
41.9	55	186.7	35.52	56	-2
41.6	57.77	183.8	27.664	45	-2
42.18	59.66	181.86	23.9	37	-2
42.55	62	178.5	21.168	32	-2
42.4	64.14	175	16.736	25	-2
41.96	66.16	172.5	13.311	21	-2
41.7	68.3	170	11.44	17	-2
41.8	71.5	166	9.7279	15	-2
40.877	84	153.8	8.7039	12	-2
40.36	93.2	143.97	7.856	11	-2
39.65	109.8	129.86	6.992	10	-2
39.07	121.4	120.15	6.1439	9	-2
38.65	130.83	111.3	6.832	8	-2
38	144.4	99.33	5.968	7	-2
37.63	153	91	5.1199	6	-2
37.325	161.243	83	4.272	5	-2
36.2	174.25	72	3.4	4	-2
33.5	193	53.87	2.56	3	-2
31.8	211.8	39.45	1.6959	2	-2
30.88	224.66	30.1	0.848	1	-2
27.5	16.45	250.83	295.93	505	2
23	12.56	252.8	390.01	671	2
26.945	16.363	251.1	311.12	539	2
22.6	11.7	253.92	356.04	606	2
24	13.4	254.53	322.89	560	2
30.8	26.36	248.25	193.13	327	2
25.5	16.4	253.9	264.17	448	2
30.8778	26.36	248.2	193.13	327	2
31.32	26.6	247.6	167	282	2
32.57	29.4	245.3	145.66	248	2
34.6	34.8	240.47	103.13	173	2
37	39.96	232.15	72.4	119	2
38.76	43.075	227	49.344	83	2
37.95	41.27	229.7	60.8	100	2
40	44.7	224.4	35.7	58	2
4.44	71.54	182.5	6.992	10	2
38.7	121.7	121	4.272	5	2
35.2	155.5	93.72	1.6959	2	2
34.57	193.75	49.9	0.848	1	2



• **Tabel Interpolasi Newton**

	xi	y1	ST-1	ST-2	ST-3	ST-4	ST-5	ST-6	ST-7	ST-8	ST-9	ST-10	ST-11	ST-12
0	-12.000	67.000	2.000	1.625	-0.188	0.013	0.000	0.000	0.000	-0.00000106569	0.00000006459	0.00000000000	-0.00000000055	0.00000000008
1	-10.000	71.000	8.500	0.500	-0.083	0.010	-0.001	0.000	0.000	0.00000009688	0.00000006459	-0.00000001211	0.00000000131	
2	-8.000	88.000	10.500	0.000	0.000	0.000	0.000	0.000	0.000	0.00000125946	-0.00000017762	0.00000001669		
3	-6.000	109.000	10.500	0.000	0.000	0.000	0.000	0.000	0.000	-0.00000193762	0.00000015609			
4	-4.000	130.000	10.500	0.000	0.000	0.000	-0.001	0.000	0.000	0.00000087193				
5	-2.000	151.000	10.500	0.000	0.000	-0.008	0.001	0.000	0.000					
6	0.000	172.000	10.500	0.000	-0.063	0.003	0.000	0.000						
7	2.000	193.000	10.500	-0.375	-0.042	0.005	-0.001							
8	4.000	214.000	9.000	-0.625	0.000	-0.003								
9	6.000	232.000	6.500	-0.625	-0.021									
10	8.000	245.000	4.000	-0.750										
11	10.000	253.000	1.000											
12	12.000	255.000												
	P1	P2	P3	P4	P5	P6	P7	P8	P9	P10	P11	P12		
63.000	76.000	85.000	90.000	91.000	88.000	81.000	70.000	58.000	58.000	103.000	255.000			
64.000	72.531	77.945	80.765	81.301	79.761	76.295	71.019	65.423	65.423	85.418	151.547			
65.000	69.875	72.688	74.055	74.301	73.624	72.158	69.998	67.772	67.772	75.340	99.840			
66.000	68.031	69.086	69.562	69.643	69.430	68.988	68.358	67.727	67.727	69.765	76.216			
67.000	67.000	67.000	67.000	67.000	67.000	67.000	67.000	67.000	67.000	67.000	67.000			
68.000	66.781	66.289	66.101	66.073	66.140	66.268	66.438	66.598	66.598	66.133	64.726			
69.000	67.375	66.813	66.617	66.590	66.651	66.764	66.908	67.039	67.039	66.679	65.613			
70.000	68.781	68.430	68.320	68.306	68.336	68.389	68.454	68.512	68.512	68.362	67.932			
71.000	71.000	71.000	71.000	71.000	71.000	71.000	71.000	71.000	71.000	71.000	71.000			
72.000	74.031	74.383	74.468	74.478	74.460	74.432	74.401	74.375	74.375	74.434	74.598			
73.000	77.875	78.438	78.555	78.566	78.546	78.515	78.482	78.456	78.456	78.513	78.665			
74.000	82.531	83.023	83.109	83.117	83.104	83.086	83.068	83.054	83.054	83.082	83.156			
75.000	88.000	88.000	88.000	88.000	88.000	88.000	88.000	88.000	88.000	88.000	88.000			
76.000	94.281	93.227	93.117	93.109	93.120	93.133	93.145	93.154	93.154	93.138	93.101			
77.000	101.375	98.563	98.367	98.355	98.370	98.387	98.402	98.412	98.412	98.396	98.356			
78.000	109.281	103.867	103.679	103.670	103.680	103.692	103.701	103.707	103.707	103.698	103.676			
79.000	118.000	109.000	109.000	109.000	109.000	109.000	109.000	109.000	109.000	109.000	109.000			
80.000	127.531	113.820	114.296	114.311	114.298	114.287	114.278	114.273	114.273	114.280	114.294			
81.000	137.875	118.188	119.555	119.582	119.562	119.544	119.533	119.526	119.526	119.534	119.551			
82.000	149.031	121.961	124.781	124.809	124.791	124.778	124.770	124.765	124.765	124.770	124.780			
83.000	161.000	125.000	130.000	130.000	130.000	130.000	130.000	130.000	130.000	130.000	130.000			
84.000	173.781	127.164	135.257	135.176	135.207	135.224	135.234	135.238	135.238	135.234	135.227			
85.000	187.375	128.313	140.617	140.371	140.433	140.463	140.478	140.485	140.485	140.479	140.470			
86.000	201.781	128.305	146.164	145.628	145.695	145.723	145.735	145.740	145.740	145.736	145.730			
87.000	217.000	127.000	152.000	151.000	151.000	151.000	151.000	151.000	151.000	151.000	151.000			
88.000	233.031	124.258	158.250	156.550	156.337	156.284	156.266	156.260	156.260	156.264	156.270			
89.000	249.875	119.938	165.055	162.348	161.671	161.558	161.525	161.515	161.515	161.520	161.529			
90.000	267.531	113.898	172.578	168.470	166.930	166.801	166.770	166.761	166.761	166.765	166.771			
91.000	286.000	106.000	181.000	175.000	172.000	172.000	172.000	172.000	172.000	172.000	172.000			
92.000	305.281	96.102	190.523	182.025	176.714	177.156	177.222	177.235	177.235	177.231	177.224			
93.000	325.375	84.063	201.367	189.637	180.839	182.305	182.449	182.475	182.475	182.468	182.458			
94.000	346.281	69.742	213.773	197.930	184.067	187.532	187.703	187.728	187.728	187.722	187.714			
95.000	368.000	53.000	228.000	207.000	186.000	193.000	193.000	193.000	193.000	193.000	193.000			
96.000	390.531	33.695	244.328	216.945	186.140	198.976	198.346	198.288	198.288	198.298	198.308			
97.000	413.875	11.688	263.055	227.863	183.874	205.869	203.708	203.578	203.578	203.594	203.611			
98.000	438.031	-13.164	284.500	239.850	178.457	214.270	208.994	208.834	208.834	208.849	208.863			
99.000	463.000	-41.000	309.000	253.000	169.000	225.000	214.000	214.000	214.000	214.000	214.000			
100.000	488.781	-71.961	336.914	267.405	154.453	239.167	218.367	218.997	218.997	218.969	218.947			
101.000	515.375	-106.188	368.617	283.152	133.589	258.225	221.502	223.728	223.728	223.671	223.631			
102.000	542.781	-143.820	404.507	300.325	104.983	284.047	222.494	228.089	228.089	228.030	227.992			
103.000	571.000	-185.000	445.000	319.000	67.000	319.000	220.000	232.000	232.000	232.000	232.000			
104.000	600.031	-229.867	490.531	339.247	17.770	366.037	212.115	235.437	235.437	235.586	235.659			
105.000	629.875	-278.563	541.555	361.129	-44.829	428.789	196.208	238.496	238.496	238.856	239.008			
106.000	660.531	-331.227	598.546	384.699	-123.190	511.671	168.733	241.477	241.477	241.942	242.106			
107.000	692.000	-388.000	662.000	410.000	-220.000	620.000	125.000	245.000	245.000	245.000	245.000			
108.000	724.281	-449.023	732.429	437.066	-338.262	760.119	58.920	250.157	250.157	248.119	247.689			
109.000	757.375	-514.438	810.367	465.918	-481.317	939.536	-37.301	258.710	258.710	251.142	250.077			
110.000	791.281	-584.383	896.367	496.564	-652.867	1167.066	-173.510	273.349	273.349	253.354	251.947			
111.000	826.000	-659.000	991.000	529.000	-857.000	1453.000	-362.000	298.000	298.000	253.000	253.000			

[illegible]

No.	Wkt	Lum1	Exp	WB	Objek 1 (Merah)										Objek 2 (Biru)										Objek 3 (Hijau)										Objek 4 (Kuning)									
					Hamid	Idma	Smin	Smith	Smax	Ymin	Ymid	Ymax	hmin	hmid	hmax	Smin	Smith	Smax	Ymin	Ymid	Ymax	hmin	hmid	hmax	Smin	Smith	Smax	Ymin	Ymid	Ymax	hmin	hmid	hmax	Smin	Smith	Smax	Ymin	Ymid	Ymax					
1	900	32767	-10	DLA	0	0	3	211	0	239	115	134	154	148	150	161	247	255	255	43	61	80	100	104	109	243	255	258	59	77	96	38	44	50	201	218	225	101	115	130				
2		32767	-5	DLA	0	1	3	190	0	215	168	180	192	146	149	153	238	246	255	65	79	94	101	107	113	247	252	257	86	98	111	43	48	53	170	189	209	137	159	181				
3		32767	0	DLA	0	2	4	175	0	194	201	220	240	143	147	152	212	229	247	117	139	161	104	109	115	219	237	255	124	165	152	39	44	49	146	170	194	190	205	220				
4		32767	5	DLA	0	3	6	136	0	171	249	253	257	140	145	151	181	198	215	166	184	202	106	110	115	177	206	235	180	212	244	42	44	46	58	135	115	250	253	257				
5		32767	10	DLA	0	4	9	77	0	135	233	255	255	136	142	149	151	171	191	206	226	246	109	113	118	154	175	197	234	247	260	42	45	48	58	86	115	250	255	257				
6	11300	32767	-10	DLA	0	3	9	206	219	229	130	139	155	146	153	160	246	251	256	43	58	73	99	107	112	245	255	260	60	82	85	42	46	50	184	205	215	110	113	145				
7		32767	-5	DLA	0	3	6	184	197	202	182	189	203	147	151	156	215	236	257	71	86	102	106	109	112	222	241	256	103	115	131	42	44	51	178	185	197	151	168	187				
8		32767	0	DLA	0	3	9	161	180	193	213	220	256	146	150	154	178	207	237	111	133	158	107	111	115	194	223	249	111	167	211	41	44	52	154	170	174	205	208	221				
9		32767	5	DLA	0	4	6	125	140	156	250	255	259	143	148	154	158	178	198	160	184	208	106	112	119	192	221	168	211	255	42	45	48	127	132	145	245	252	259					
10		32767	10	DLA	3	6	14	79	92	105	247	255	259	137	143	150	133	149	165	216	210	249	106	114	119	35	163	194	250	230	255	42	46	49	52	66	80	252	253	255				
11		32767	-10	DLA	0	257	6	250	247	255	24	48	53	160	163	167	246	253	255	0	16	33	87	91	94	244	247	255	0	32	23	48	53	57	242	247	260	28	46	60				
12		32767	-5	DLA	249	252	255	244	247	257	49	61	96	153	157	161	249	252	256	61	75	90	94	101	108	249	247	258	27	44	49	46	49	61	207	223	248	57	98	98				
13		32767	0	DLA	244	252	256	216	221	237	75	102	118	152	154	157	244	251	259	71	88	105	104	109	116	245	247	258	48	60	83	48	52	58	179	194	210	93	125	160				
14		32767	5	DLA	248	251	255	184	196	220	129	155	183	146	150	154	238	247	257	108	122	136	107	112	117	240	247	255	47	97	147	52	54	56	157	168	179	158	175	192				
15		32767	10	DLA	248	251	258	165	173	182	190	207	218	144	147	150	213	232	246	160	174	188	111	116	120	249	247	258	136	147	167	47	50	54	125	139	154	212	226	240				
16	1530	6754	-10	DLA												158	161	171	250	247	255	47	67	79																				
17		6520	-5	DLA												155	155	161	250	247	256	72	97	108																				
18		6268	0	DLA												151	153	156	237	244	257	114	141	164																				
19		6063	5	DLA												150	151	155	213	226	246	174	198	218																				
20		5923	10	DLA												144	148	153	192	202	217	209	224	260																				
21		5116	-10	DLA	242	248	254	212	231	251	79	108	120																															
22		5194	-5	DLA	246	249	251	188	202	218	121	154	173																															
23		5290	0	DLA	244	248	250	175	182	198	172	198	206																															
24		5448	5	DLA	245	248	248	143	155	170	215	225	249																															
25		5923	10	DLA	238	243	247	94	111	144	246	230	258																															
26		5485	-10																																									
27		5673	-5																																									
28		5680	0																																									
29		5756	5																																									
30		5900	10																																									
31		5600	-10																																									
32		5742	-5																																									
33		5750	0																																									
34		5874	5																																									
35		5874	10																																									

- **Koding MainActivity OpenCV Android (Java):**

```
package mbs.TA05;
import java.util.List;
import org.opencv.android.BaseLoaderCallback;
import org.opencv.android.LoaderCallbackInterface;
import org.opencv.android.OpenCVLoader;
import org.opencv.android.CameraBridgeViewBase.CvCameraViewFrame;
import org.opencv.android.CameraBridgeViewBase.CvCameraViewListener2;
import org.opencv.core.Core;
import org.opencv.core.CvType;
import org.opencv.core.Mat;
import org.opencv.core.MatOfPoint;
import org.opencv.core.MatOfPoint2f;
import org.opencv.core.Point;
import org.opencv.core.Rect;
import org.opencv.core.Scalar;
import org.opencv.core.Size;
import org.opencv.imgproc.Imgproc;
import android.annotation.SuppressLint;
import android.app.Activity;
import android.content.Intent;
import android.hardware.Sensor;
import android.hardware.SensorEvent;
import android.hardware.SensorEventListener;
import android.hardware.SensorManager;
import android.os.Bundle;
import android.util.Log;
import android.view.Menu;
import android.view.MenuItem;
import android.view.MotionEvent;
import android.view.View;
import android.view.View.OnTouchListener;
import android.view.WindowManager;
import android.widget.Button;
import android.widget.SeekBar;
import android.widget.SeekBarVal extends Activity implements CvCameraViewListener2,
OnTouchListener {
    private static final String TAG = "SeekActivity";
    private static final int VIEW_MODE_HSV11 = 0;
    private MenuItem mItemHsv11;
    private int mViewMode;
    private float nLux;
    private float nLuxAcc;
    private MisiView mOpenCvCameraView;
    private Mat mRgba;
    private Mat mHSV;
    public static double Hmin1 = 0;
    public static double Hmid = 0;
    public static double Hmax1 = 0;
    public static double Smin1 = 0;
    public static double Smid = 0;
    public static double Smax1 = 0;
    public static double Vmin1 = 0;
    public static double Vmid = 0;
    public static double Vmax1 = 0;
    public static double Dilate1;
    public static double Erode1;
    public static int ExVal = -12;
    public static int WBidx = 2;
    public static double valVarY = 0;
    public static double satVar = 0;
    public static int ExpVal = 12;
    public static double HueAv = 0;
    public static double SatAv = 0;
```

```

public static double ValAv = 0;
public static double CamL = 0;
public static String valWB = "daylight";
private Boolean val = false;
private Sensor mOrienta;
private SeekBar seekHmin1;
private SeekBar seekHmax1;
private SeekBar seekSmin1;
private SeekBar seekSmax1;
private SeekBar seekVmin1;
private SeekBar seekVmax1;
private SeekBar seekErode;
private SeekBar seekDilate;
private SeekBar seekEV;
private SeekBar seekWB;
private boolean mIsDisplayTouched;
private SeekAdapter sH;
private SeekAdapter sS;
private SeekAdapter sV;
private SeekAdapter sED;
private SeekAdapter sEW;
private Mat mSpectrum;
private Scalar mBlobColorRgba;
private Scalar mBlobColorHsv;
private Scalar mBlobColorRgba2;
private Scalar mBlobColorHsv2;
private Size SPECTRUM_SIZE;
private BlobDetector mDetector;
protected boolean bIsHPressed;
protected boolean bIsSPressed;
protected boolean bIsVPressed;
protected boolean bIsEDPressed;
protected boolean bIsEWPressed;
private SensorEventListener mySensorEventListener;
private Mat mDisplay;
private Mat mBiner;
private boolean idxBiner = false;
private BaseLoaderCallback mLoaderCallback = new BaseLoaderCallback(this) {
    @Override
    public void onManagerConnected(int status) {
        switch (status) {
            case LoaderCallbackInterface.SUCCESS:{
                Log.i(TAG, "OpenCV loaded successfully");
                mOpenCvCameraView.enableView();
                mOpenCvCameraView.setOnTouchListener(SeekBarVal.this);
            } break;
            default:
                {
                    super.onManagerConnected(status);
                } break;
            }
        }
    };
private MenuItem mItemExposure;
private Scalar CONTOUR_COLOR;
    public SeekBarVal() {
        Log.i(TAG, "Instantiated new " + this.getClass());
    }
@SuppressWarnings("deprecation")
@Override
public void onCreate(Bundle savedInstanceState) {
    Log.i(TAG, "called onCreate");
    super.onCreate(savedInstanceState);
    getWindow().addFlags(WindowManager.LayoutParams.FLAG_KEEP_SCREEN_ON);

```

```

setContentView(R.layout.biner);
SensorManager mySensorManager = (SensorManager) getSystemService(SENSOR_SERVICE);
Sensor LightSensor = mySensorManager.getDefaultSensor(Sensor.TYPE_LIGHT);
mySensorManager.registerListener(LightSensorListener, LightSensor,
    SensorManager.SENSOR_DELAY_NORMAL);
mOpenCvCameraView = (MisiView) findViewById(R.id.activity_surface_view);
mOpenCvCameraView.setCameraIndex(0);
mOpenCvCameraView.setMaxFrameSize(480, 320);
mOpenCvCameraView.setCvCameraViewListener(this);
}
@Override
public boolean onCreateOptionsMenu(Menu menu) {
    Log.i(TAG, "called onCreateOptionsMenu");
    MenuItem Exposure = menu.add("exp");
    return true;
}
@Override
public void onPause()
{
    super.onPause();
    if (mOpenCvCameraView != null)
        mOpenCvCameraView.disableView();
}
@Override
public void onResume()
{
    super.onResume();
    OpenCVLoader.initAsync(OpenCVLoader.OPENCV_VERSION_3_0_0, this,
        mLoaderCallback);
}
@Override
protected void onDestroy(){
    if (mOpenCvCameraView != null)
        mOpenCvCameraView.disableView();
    super.onDestroy();
}
@Override
public void onCameraViewStarted(int width, int height) {
    // TODO Auto-generated method stub
    mRgba = new Mat(height, width, CvType.CV_8UC4);
    mHSV = new Mat(height, width, CvType.CV_8UC4);
    mDetector = new BlobDetector();
    sH = new SeekAdapter();
    sS = new SeekAdapter();
    sV = new SeekAdapter();
    sED = new SeekAdapter();
    sEW = new SeekAdapter();
    mSpectrum = new Mat();
    mBlobColorRgba = new Scalar(255);
    mBlobColorHsv = new Scalar(255);
    mBlobColorRgba2 = new Scalar(255);
    mBlobColorHsv2 = new Scalar(255);
    SPECTRUM_SIZE = new Size(mRgba.cols()/1.5, 64);
    CONTOUR_COLOR = new Scalar(255,0,0,255);
    mDisplay = new Mat();
    mBiner = new Mat(height,width,CvType.CV_8UC1);
}

@Override
public void onCameraViewStopped() {
    // TODO Auto-generated method stub
    mRgba.release();
    mHSV.release();
    mDisplay.release();
}

```

```

mBiner.release();
}
@Override
public Mat onCameraFrame(CvCameraViewFrame inputFrame) {
    final int viewMode = mViewMode;
    mRgba = inputFrame.rgba();
    mOpenCvCameraView.setFocus("manual");
    mOpenCvCameraView.setWhite();
    mOpenCvCameraView.setAntibanding("auto");
    mOpenCvCameraView.setExposureLock(val);
    Button bMenu = (Button)findViewById(R.id.tombolMenu);
    bMenu.setOnClickListener(new View.OnClickListener() {
        @Override
        public void onClick(View v) {
            openOptionsMenu();
        }
    });
    Rect totScreen = new Rect();
    totScreen.x = 0;
    totScreen.y = 0;
    totScreen.width = 480;
    totScreen.height = 320;
    Mat touchedRegionRgba2 = mRgba.submat(totScreen);
    Mat touchedRegionHsv2 = new Mat();
    Imgproc.cvtColor(touchedRegionRgba2, touchedRegionHsv2,
        Imgproc.COLOR_RGB2HSV_FULL);
    mBlobColorHsv2 = Core.sumElems(touchedRegionHsv2);
    HueAv = mBlobColorHsv2.val[0]/153600;
    SatAv = mBlobColorHsv2.val[1]/153600;
    ValAv = mBlobColorHsv2.val[2]/153600;
    if (viewMode==VIEW_MODE_HSV11){
        Button bH = (Button)findViewById(R.id.tombolH);
        Button bS = (Button)findViewById(R.id.tombolS);
        Button bV = (Button)findViewById(R.id.tombolV);
        Button bED = (Button)findViewById(R.id.tombolED);
        Button bEW = (Button)findViewById(R.id.tombolEW);
        seekHmin1=(SeekBar) findViewById(R.id.min);
        seekHmax1=(SeekBar) findViewById(R.id.max);
        seekSmin1=(SeekBar) findViewById(R.id.min);
        seekSmax1=(SeekBar) findViewById(R.id.max);
        seekVmin1=(SeekBar) findViewById(R.id.min);
        seekVmax1=(SeekBar) findViewById(R.id.max);
        seekErode=(SeekBar) findViewById(R.id.min);
        seekDilate=(SeekBar) findViewById(R.id.max);
        seekEV=(SeekBar) findViewById(R.id.min);
        seekWB=(SeekBar) findViewById(R.id.max);

        bH.setOnClickListener(new View.OnClickListener() {
            @Override
            public void onClick(View v) {
                sH.setProgress(seekHmin1, seekHmax1, Hmin1, Hmax1, 262);
                sH.seekProgress();
                bIsHPressed = true;
                bIsSPressed = false;
                bIsVPressed = false;
                bIsEDPressed = false;
                bIsEWPressed = false;
                mIsDisplayTouched = false;
            }
        });
        bS.setOnClickListener(new View.OnClickListener() {
            @Override
            public void onClick(View v) {
                sS.setProgress(seekSmin1, seekSmax1, Smin1, Smax1, 262);

```

```

sS.seekProgress();
bIsSPressed = true;
bIsHPressed = false;
bIsVPressed = false;
bIsEDPressed = false;
bIsEWPressed = false;
mIsDisplayTouched = false;
}
});
bV.setOnClickListener(new View.OnClickListener() {
@Override
public void onClick(View v) {
sV.setProgress(seekVmin1, seekVmax1, Vmin1, Vmax1, 262);
sV.seekProgress();
sV.seekBarChange();
bIsHPressed = false;
bIsSPressed = false;
bIsEDPressed = false;
bIsEWPressed = false;
bIsVPressed = true;
mIsDisplayTouched = false;
}
});
bED.setOnClickListener(new View.OnClickListener() {
@Override
public void onClick(View v) {
sED.setProgress(seekErode, seekDilate, Erode1, Dilate1, 21);
sED.seekProgress();
sED.seekBarChange();
bIsEDPressed = true;
bIsHPressed = false;
bIsSPressed = false;
bIsVPressed = false;
bIsEWPressed = false;
mIsDisplayTouched = false;
if(idxBiner)
idxBiner = false;
else
idxBiner = true;
}
});
bEW.setOnClickListener(new View.OnClickListener() {
@Override
public void onClick(View v) {
sEW.setProgress(seekEV, seekWB, ExpVal, WBidx, 25);
sEW.seekProgress();
sEW.seekBarChange();
bIsEDPressed = false;
bIsHPressed = false;
bIsSPressed = false;
bIsVPressed = false;
bIsEWPressed = true;
mIsDisplayTouched = false;
}
});
if(bIsHPressed){
Hmin1 = sH.getFirstVal();
Hmax1 = sH.getSecondVal();
sH.setProgress(seekHmin1, seekHmax1, Hmin1, Hmax1, 262);
sH.seekProgress();
sH.seekBarChange();
}
if(bIsSPressed){
Smin1 = sS.getFirstVal();

```

```

Smax1 = sS.getSecondVal();
sS.setProgress(seekSmin1, seekSmax1, Smin1, Smax1, 262);
sS.seekProgress();
sS.seekBarChange();
}
if(bIsVPressed){
Vmin1 = sV.getFirstVal();
Vmax1 = sV.getSecondVal();
sV.setProgress(seekVmin1, seekVmax1, Vmin1, Vmax1, 262);
sV.seekProgress();
sV.seekBarChange();
}
if(bIsEDPressed){
Erodel = sED.getFirstVal();
Dilate1 = sED.getSecondVal();
sED.setProgress(seekErode, seekDilate, Erodel, Dilate1, 21);
sED.seekProgress();
sED.seekBarChange();
}
if(bIsEWPressed){
ExpVal = sEW.getFirstVal();
WBidx = sEW.getSecondVal();
sEW.setProgress(seekEV, seekWB, ExpVal, WBidx, 25);
sEW.seekProgress();
sEW.seekBarChange();
}
if(idxBiner){
Scalar hsv_min2 = new Scalar(Hmin1, Smin1, Vmin1, 0);
Scalar hsv_max2 = new Scalar(Hmax1, Smax1, Vmax1, 0);
Imgproc.cvtColor(mRgba, mHSV, Imgproc.COLOR_RGB2HSV_FULL,4);
Core.inRange(mHSV, hsv_min2, hsv_max2, mBiner);
Imgproc.erode(mBiner, mBiner,
    Imgproc.getStructuringElement(Imgproc.MORPH_ELLIPSE, new Size
        (2*Erodel+1,2*Erodel+1), new Point (Erodel,Erodel)));
Imgproc.dilate(mBiner, mBiner,
    Imgproc.getStructuringElement(Imgproc.MORPH_ELLIPSE, new Size
        (2*Dilate1+1,2*Dilate1+1), new Point (Dilate1,Dilate1)));
Imgproc.dilate(mBiner, mBiner,
    Imgproc.getStructuringElement(Imgproc.MORPH_ELLIPSE, new Size
        (2*Dilate1+1,2*Dilate1+1), new Point (Dilate1,Dilate1)));
Imgproc.erode(mBiner, mBiner,
    Imgproc.getStructuringElement(Imgproc.MORPH_ELLIPSE, new Size
        (2*Erodel+1,2*Erodel+1), new Point (Erodel,Erodel)));
mDisplay = mBiner;
}
else{
if(mIsDisplayTouched){
Hmin1 = (int) mDetector.getHmin();
Hmid = (int) mDetector.getHmid();
Hmax1 = (int) mDetector.getHmax();
Smin1 = (int) mDetector.getSmin();
Smid = (int) mDetector.getSmid();
Smax1 = (int) mDetector.getSmax();
Vmin1 = (int) mDetector.getVmin();
Vmid = (int) mDetector.getVmid();
Vmax1 = (int) mDetector.getVmax();
}
mDetector.process(mRgba, new Scalar(Hmin1, Smin1, Vmin1), new Scalar(Hmax1,
    Smax1, Vmax1), Dilate1, Erodel);
List<MatOfPoint> contours = mDetector.getContours();
MatOfPoint approx = new MatOfPoint();
double max = 0;
for (int i = 0; i < contours.size(); i++){
    MatOfPoint tempContour = contours.get(i);

```



```

MatOfPoint2f newMat = new MatOfPoint2f( tempContour.toArray() );
MatOfPoint2f newApprox = new MatOfPoint2f( approx.toArray() );

Imgproc.approxPolyDP(newMat, newApprox, Imgproc.arcLength(newMat,
true)*0.02, true);

if (Imgproc.contourArea(contours.get(i)) > max){
    max = Imgproc.contourArea(contours.get(i));
}
}
switch(WBidx){
case 0 : valWB = "auto"; break;
case 1 : valWB = "auto"; break;
case 2 : valWB = "daylight"; break;
case 3 : valWB = "daylight"; break;
case 4 : valWB = "cloudy-daylight"; break;
case 5 : valWB = "cloudy-daylight"; break;
case 6 : valWB = "twilight"; break;
case 7 : valWB = "twilight"; break;
case 8 : valWB = "incandescent"; break;
case 9 : valWB = "incandescent"; break;
case 10 : valWB = "warm-fluorescent"; break;
case 11 : valWB = "warm-fluorescent"; break;
case 12 : valWB = "fluorescent"; break;
case 13 : valWB = "fluorescent"; break;
case 14 : valWB = "shade"; break;
case 15 : valWB = "shade"; break;
case 16 : valWB = "auto"; break;
case 17 : valWB = "auto"; break;
default : valWB = "daylight"; break;
}
ExVal = ExpVal-12;
mOpenCvCameraView.setExposure(ExVal);
Imgproc.drawContours(mRgba, contours, -1, new Scalar(153, 0, 153, 155), 2);
Imgproc.putText(mRgba, "TA 0.1: " + max, new Point (350, 210),
    Core.FONT_HERSHEY_SIMPLEX, 0.4, new Scalar(0, 0, 255), 1);
Imgproc.putText(mRgba, "valBot: " + Hmin1 + ", " + Smin1 + ", " + Vmin1
    + ", " + Erod1, new Point (8, mRgba.rows() * 0.05),
    Core.FONT_HERSHEY_SIMPLEX, 0.4, new Scalar(0, 255, 0), 1);
Imgproc.putText(mRgba, "valM1: " + Hmid + ", " + Smid + ", " + Vmid + ",
    " + Dilat1, new Point (8, mRgba.rows() * 0.1),
    Core.FONT_HERSHEY_SIMPLEX, 0.4, new Scalar(255, 0, 0), 1);
Imgproc.putText(mRgba, "valM2: " + ((Hmin1+Hmax1)/2) + ", " +
    ((Smin1+Smax1)/2) + ", " + ((Vmin1+Vmax1)/2) + ", " + Dilat1, new
    Point (8, mRgba.rows() * 0.15), Core.FONT_HERSHEY_SIMPLEX, 0.4, new
    Scalar(255, 0, 0), 1);
Imgproc.putText(mRgba, "valMax: " + Hmax1 + ", " + Smax1 + ", " + Vmax1
    + ", " + Dilat1, new Point (8, mRgba.rows() * 0.2),
    Core.FONT_HERSHEY_SIMPLEX, 0.4, new Scalar(0, 255, 0), 1);
Imgproc.putText(mRgba, "I1: " + nLux, new Point (400, mRgba.rows() * 0.3),
    Core.FONT_HERSHEY_SIMPLEX, 0.5, new Scalar(0, 0, 255), 1);
Imgproc.putText(mRgba, "I2: " + nLuxAcc, new Point (400, mRgba.rows() *
    0.5), Core.FONT_HERSHEY_SIMPLEX, 0.5, new Scalar(0, 0, 255), 1);
Imgproc.putText(mRgba, "EV: " + ExVal, new Point (8, mRgba.rows() * 0.25),
    Core.FONT_HERSHEY_SIMPLEX, 0.4, new Scalar(0, 0, 255), 1);
Imgproc.putText(mRgba, "WB: " + valVarY, new Point (8, mRgba.rows() *
    0.3), Core.FONT_HERSHEY_SIMPLEX, 0.4, new Scalar(0, 0, 255), 1);
CamL = ((Math.pow(HueAv, 1.61)*(-1.35)+Math.pow(SatAv,
    0.985)*4.45+Math.pow(ValAv, 1.247)*1.413)/1.25)-440;
CamL = this.expGrowthFunc(255-SatAv);
Imgproc.putText(mRgba, "Exp: " + val, new Point (5, 160),
    Core.FONT_HERSHEY_SIMPLEX, 0.4, new Scalar(0, 0, 255), 1);
Imgproc.putText(mRgba, "HueVal: " + HueAv, new Point (5, 115),
    Core.FONT_HERSHEY_SIMPLEX, 0.35, new Scalar(0, 0, 255), 1);

```

```

Imgproc.putText(mRgba, "SatVal: " + SatAv, new Point (5, 130),
    Core.FONT_HERSHEY_SIMPLEX, 0.35, new Scalar(0, 0, 255), 1);
Imgproc.putText(mRgba, "AvVal : " + ValAv, new Point (5, 145),
    Core.FONT_HERSHEY_SIMPLEX, 0.35, new Scalar(0, 0, 255), 1);
Imgproc.putText(mRgba, "CamLux : " + CamL, new Point (5, 200),
    Core.FONT_HERSHEY_SIMPLEX, 0.5, new Scalar(0, 0, 255), 2);
Mat colorLabel = mRgba.submat(2, 34, 446, 478);
colorLabel.setTo(mBlobColorRgba);
mDisplay = mRgba;
}
}
return mDisplay;
}
public double expGrowthFunc (double x){
return (0.000005556*Math.exp(0.07802*x));
}
public boolean onOptionsItemSelected(MenuItem item) {
if (item == mItemExposure){
if(val)
val = false;
else
val = true;
}
return true;
}
@SuppressWarnings("ClickableViewAccessibility")
@Override
public boolean onTouch(View v, MotionEvent event) {
int cols = mRgba.cols();
int rows = mRgba.rows();
int x = (int)(event.getX() * 0.25);
int y = (int)(event.getY() * 0.296296296);
Log.i(TAG, "Touch image coordinates: (" + x + ", " + y + ")");
if ((x < 0) || (y < 0) || (x > cols) || (y > rows)) return false;
Rect touchedRect = new Rect();
touchedRect.x = (x>4) ? x-4 : 0;
touchedRect.y = (y>4) ? y-4 : 0;
touchedRect.width = (x+4 < cols) ? x + 4 - touchedRect.x : cols -
    touchedRect.x;
touchedRect.height = (y+4 < rows) ? y + 4 - touchedRect.y : rows -
    touchedRect.y;
Mat touchedRegionRgba = mRgba.submat(touchedRect);
Mat touchedRegionHsv = new Mat();
Imgproc.cvtColor(touchedRegionRgba, touchedRegionHsv,
    Imgproc.COLOR_RGB2HSV_FULL);
int pointCount = touchedRect.width*touchedRect.height;
mBlobColorHsv = Core.sumElems(touchedRegionHsv);
for (int i = 0; i < mBlobColorHsv.val.length; i++)
mBlobColorHsv.val[i] /= pointCount;
mBlobColorRgba = converScalarHsv2Rgba(mBlobColorHsv);
Log.i(TAG, "Touched rgba color: (" + mBlobColorRgba.val[0] + ", " +
    mBlobColorRgba.val[1] +
    ", " + mBlobColorRgba.val[2] + ", " + mBlobColorRgba.val[3] + ")");
mDetector.setHsvColor(mBlobColorHsv);
Imgproc.resize(mDetector.getSpectrum(), mSpectrum, SPECTRUM_SIZE);
mDetector.process(mRgba);
bIsHPressed = false;
bIsSPressed = false;
bIsVPressed = false;
bIsEDPressed = false;
bIsEWPressed = false;
mIsDisplayTouched = true;
touchedRegionRgba.release();
touchedRegionHsv.release();

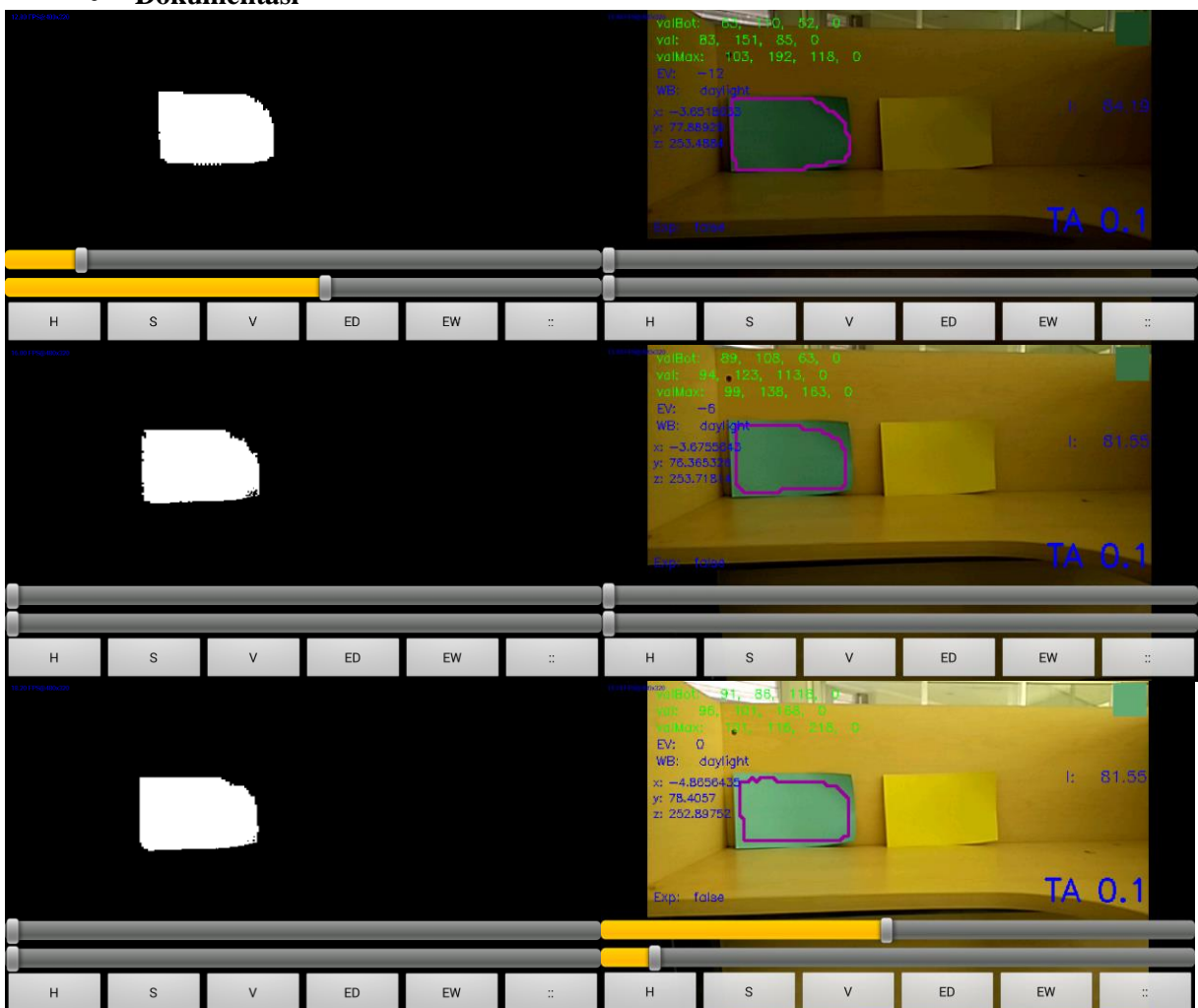
```

```

return false;
}
private Scalar converScalarHsv2Rgba(Scalar hsvColor) {
Mat pointMatRgba = new Mat();
Mat pointMatHsv = new Mat(1, 1, CvType.CV_8UC3, hsvColor);
Imgproc.cvtColor(pointMatHsv, pointMatRgba, Imgproc.COLOR_HSV2RGB_FULL, 4);
return new Scalar(pointMatRgba.get(0, 0));
}
private final SensorEventListener LightSensorListener = new
    SensorEventListener(){
@Override
public void onAccuracyChanged(Sensor sensor, int accuracy) {
nLuxAcc = accuracy;
}
@Override
public void onSensorChanged(SensorEvent event) {
nLux = event.values[0];
nLuxAcc = event.values[1];
}};
}

```

- Dokumentasi



- **Koding Simulasi Penerapan dari Gambar (C/C++).**

```
#include <iostream>
#include "opencv2/highgui/highgui.hpp"
#include "opencv2/imgproc/imgproc.hpp"
#include "opencv/highgui.h"
#include "opencv/cv.h"
using namespace cv;
using namespace std;
int H_Min = 97;
int H_Max = 103;
int S_Min = 92;
int S_Max = 255;
int V_Min = 70;
int V_Max = 255;
int Erode = 0;
int Dilate = 1;
int GB1 = 0;
int GB2 = 4;
Mat imgHSV, imgAsli, imgBiner;
int resX = 480;
int resY = 320;
char** tempImage;
Point centerRef = Point(288,133);
Point topLeftRef = Point(141,77);
Point botLeftRef = Point(135,191);
Point topRightRef = Point(439,74);
Point botRightRef = Point(440,195);
int areaRef = 22346;
Point centerDif = Point(0, 0);
int trimRate = 0;
int listRate = 0;
int SkewRate = 0;
vector<Point> pts2;
int vertice;
int lengthPoint(Point centerA, Point centerB){
    return sqrt(pow(centerA.x-centerB.x,2)+pow(centerA.y-centerB.y,2));
}
vector<Point> contoursConvexHull( vector<vector<Point> > contours )
{
    vector<Point> result;
    vector<Point> pts;
    Point topRightEnd(0, 0);
    Point topLeftEnd(0, 0);
    Point botRightEnd(resX, resY);
    Point botLeftEnd(resX, resY);
    int topLengthL = 0;
    int topLengthR = 0;
    int botLengthL = 0;
    int botLengthR = 0;
    int topLeftCount = 0;
    int topRightCount = 0;
    int botLeftCount = 0;
    int botRightCount = 0;
    int area = 0;
    for ( size_t i = 0; i< contours.size(); i++){
        area = contourArea(contours[i]) + area;
        for ( size_t j = 0; j< contours[i].size(); j++){
            pts.push_back(contours[i][j]);
            topLengthL = sqrt(pow(pts[j].x,2)+pow(pts[j].y,2));
            botLengthR = sqrt(pow(pts[j].x,2)+pow(pts[j].y,2));
            topLengthR = sqrt(pow(resX-pts[j].x,2)+pow(pts[j].y,2));
            botLengthL = sqrt(pow(resX-pts[j].x,2)+pow(pts[j].y,2));
            if(pts[j].x < botRightEnd.x || pts[j].y < botRightEnd.y){
                botRightEnd.x = pts[j].x;
```

```

botRightEnd.y = pts[j].y;
topLeftCount = j;
}
if(pts[j].x > topLeftEnd.x && pts[j].y > topLeftEnd.y){
topLeftEnd.x = pts[j].x;
topLeftEnd.y = pts[j].y;
botRightCount = j;
}
if(topLengthR < sqrt(pow(botLeftEnd.x,2)+pow(botLeftEnd.y,2))){
botLeftEnd.x = resX-pts[j].x;
botLeftEnd.y = pts[j].y;
topRightCount = j;
}
if(botLengthL > sqrt(pow(topRightEnd.x,2)+pow(topRightEnd.y,2))){
topRightEnd.x = resX-pts[j].x;
topRightEnd.y = pts[j].y;
botLeftCount = j;
}
}
}
circle (imgAsli, pts[topLeftCount], 4, Scalar( 0, 255, 0 ), 2, 3, 0 );
circle (imgAsli, pts[botRightCount], 4, Scalar( 0, 255, 0 ), 2, 3, 0 );
circle (imgAsli, pts[topRightCount], 4, Scalar( 0, 255, 0 ), 2, 3, 0 );
circle (imgAsli, pts[botLeftCount], 4, Scalar( 0, 255, 0 ), 2, 3, 0 );
line(imgAsli, pts[topLeftCount], pts[topRightCount], Scalar(255, 0, 0), 2);
line(imgAsli, pts[topLeftCount], pts[botLeftCount], Scalar(255, 0, 0), 2);
line(imgAsli, pts[botRightCount], pts[botLeftCount], Scalar(255, 0, 0), 2);
line(imgAsli, pts[botRightCount], pts[topRightCount], Scalar(255, 0, 0), 2);
int topL = lengthPoint(pts[topRightCount], pts[topLeftCount]);
int rigL = lengthPoint(pts[topRightCount], pts[botRightCount]);
int botL = lengthPoint(pts[botRightCount], pts[botLeftCount]);
int lefL = lengthPoint(pts[topLeftCount], pts[botLeftCount]);
Point center =
Point(((pts[topRightCount].x+pts[topLeftCount].x)/2+(pts[botRightCount].x+pts[botLeftCount].x)/2)/2, ((pts[topRightCount].y+pts[botRightCount].y)/2 + (pts[topLeftCount].y+pts[botLeftCount].y)/2)/2);
Point centerUp = Point((pts[topRightCount].x+pts[topLeftCount].x)/2, (pts[topRightCount].y+pts[topLeftCount].y)/2);
Point centerVer =
Point(((pts[topRightCount].x+pts[topLeftCount].x)/2+(pts[botRightCount].x+pts[botLeftCount].x)/2)/2, ((pts[topRightCount].y+pts[botRightCount].y)/2 + (pts[topLeftCount].y+pts[botLeftCount].y)/2)/2 - 55);
line(imgAsli, center, centerUp, Scalar(0, 255, 255), 2);
line(imgAsli, center, centerVer, Scalar(150, 0, 255), 2);
circle (imgAsli, center, 4, Scalar( 0, 0, 255 ), 3, 3, 0 );
circle (imgAsli, centerRef, 4, Scalar( 0, 0, 255 ), 3, 3, 0 );
int lengthDif = lengthPoint(center, centerRef);
line(imgAsli, center, centerRef, Scalar(0, 255, 255), 2);
float listRef = (float)121/(float)114;
float list = (float)rigL/(float)lefL;
float listScale = 0.01/abs((float)121/(float)114-(float)121/((float)114+1));
float listRate = (listRef-list)*listScale;
float listRate = lineDifferene(Point(121, 114), Point(rigL, lefL));
float trimRef = (float)305/(float)298;
float trim = (float)botL/(float)topL;
float trimScale = 0.01/abs((float)305/(float)298-(float)305/((float)298+(float)1));
float trimRate = (trimRef-trim)*trimScale;

```

```

float skewRate = asin(((float)centerUp.x-
(float)center.x)/(float)lengthPoint(centerUp,center))*57.29578;
Point topPos = Point((pts[topRightCount].x+pts[topLeftCount].x)/2 - 25,
(pts[topRightCount].y+pts[topLeftCount].y)/2 - 10);
Point rigPos = Point((pts[topRightCount].x+pts[botRightCount].x)/2 + 1,
(pts[topRightCount].y+pts[botRightCount].y)/2);
Point botPos = Point((pts[botRightCount].x+pts[botLeftCount].x)/2 - 25,
(pts[botRightCount].y+pts[botLeftCount].y)/2 + 25);
Point lefPos = Point((pts[topLeftCount].x+pts[botLeftCount].x)/2 - 40,
(pts[topRightCount].y+pts[botLeftCount].y)/2-40);
Point areaPos(20, 340);
Point listPos(150, 340);
Point trimPos(280, 340);
Point skewPos(20, 310);
Point centerRefPos = Point(centerRef.x-70, centerRef.y);
Point centerDifPos = Point((center.x+centerRef.x)/2 - 10,
(center.y+centerRef.y)/2 + 20);
char str[20];
sprintf(str,"Area: %d", area);
char listStr[20];
sprintf(listStr,"List: %0.3f", listRate);
char trimStr[20];
sprintf(trimStr,"Trim: %0.3f", trimRate);
char centRef[20];
sprintf(centRef,"%d,%d", centerRef.x, centerRef.y);
char skewStr[20];
sprintf(skewStr,"Skew: %0.1f Degree", skewRate);
char centDif[20];
sprintf(centDif,"%d", lengthDif);
char str1[20];
sprintf(str1,"%d", topL);
char str2[20];
sprintf(str2,"%d", rigL);
char str3[20];
sprintf(str3,"%d", botL);
char str4[20];
sprintf(str4,"%d", lefL);
char coor[20];
sprintf(coor,"%d,%d", center.x, center.y);
char coor1[20];
sprintf(coor1,"%d,%d", pts[topLeftCount].x, pts[topLeftCount].y);
char coor2[20];
sprintf(coor2,"%d,%d", pts[botRightCount].x, pts[botRightCount].y);
char coor3[20];
sprintf(coor3,"%d,%d", pts[topRightCount].x, pts[topRightCount].y);
char coor4[20];
sprintf(coor4,"%d,%d", pts[botLeftCount].x, pts[botLeftCount].y);
putText(imgAsli, str, areaPos, FONT_HERSHEY_SIMPLEX, 0.6, Scalar( 255, 0,
0), 2);
putText(imgAsli, listStr, listPos, FONT_HERSHEY_SIMPLEX, 0.6, Scalar( 255,
0, 0), 2);
putText(imgAsli, trimStr, trimPos, FONT_HERSHEY_SIMPLEX, 0.6, Scalar( 255,
0, 0), 2);
putText(imgAsli, skewStr, skewPos, FONT_HERSHEY_SIMPLEX, 0.6, Scalar( 255,
0, 0), 2);
putText(imgAsli, centRef, centerRefPos, FONT_HERSHEY_SIMPLEX, 0.5,
Scalar( 255, 0, 0), 2);
putText(imgAsli, centDif, centerDifPos, FONT_HERSHEY_SIMPLEX, 0.5,
Scalar( 0, 0, 255), 2);
putText(imgAsli, str1, topPos, FONT_HERSHEY_SIMPLEX, 0.6, Scalar( 0, 255,
0), 2);
putText(imgAsli, str2, rigPos, FONT_HERSHEY_SIMPLEX, 0.6, Scalar( 0, 255,
0), 2);

```

```

putText(imgAsli, str3, botPos, FONT_HERSHEY_SIMPLEX, 0.6, Scalar( 0, 255,
0), 2);
putText(imgAsli, str4, lefPos, FONT_HERSHEY_SIMPLEX, 0.6, Scalar( 0, 255,
0), 2);
putText(imgAsli, coor, Point(center.x+8, center.y+3), FONT_HERSHEY_SIMPLEX,
0.5, Scalar( 255, 0, 0), 2);
putText(imgAsli, coor1, Point(pts[topLeftCount].x-20, pts[topLeftCount].y-
10), FONT_HERSHEY_SIMPLEX, 0.45, Scalar( 0, 0, 255), 2);
putText(imgAsli, coor2, Point(pts[botRightCount].x-20,
pts[botRightCount].y+15), FONT_HERSHEY_SIMPLEX, 0.45, Scalar( 0, 0, 255),
2);
putText(imgAsli, coor3, Point(pts[topRightCount].x-20,
pts[topRightCount].y-10), FONT_HERSHEY_SIMPLEX, 0.45, Scalar( 0, 0, 255),
2);
putText(imgAsli, coor4, Point(pts[botLeftCount].x-20,
pts[botLeftCount].y+15), FONT_HERSHEY_SIMPLEX, 0.45, Scalar( 0, 0, 255),
2);
convexHull( pts, result );
return result;
}
static void onTrackbar(int, void*)
{
imgAsli = imread( tempImage[1], 1);
esize(imgAsli, imgAsli, Size(480, 320), 0, 0, INTER_CUBIC);
cvtColor(imgAsli, imgHSV, COLOR_RGB2HSV);
inRange(imgHSV, Scalar(H_Min, S_Min, V_Min), Scalar(H_Max, S_Max, V_Max),
imgBiner); //Threshold the tempImagege
medianBlur(imgBiner, imgBiner, 2*GB1+1);
    // GaussianBlur(imgBiner, imgBiner, Size(GB2*2+1, GB2*2+1), 0, 0);
    // bilateralFilter(imgBiner, imgBiner, GB2*2+1, (GB2*2+1)*2,
(GB2*2+1)/2);
erode(imgBiner, imgBiner, getStructuringElement(MORPH_RECT, Size(2*Erode+1,
2*Erode+1)) );
dilate( imgBiner, imgBiner, getStructuringElement(MORPH_RECT,
Size(2*Dilate+1, 2*Dilate+1)) );
dilate( imgBiner, imgBiner, getStructuringElement(MORPH_RECT,
Size(2*Dilate+1, 2*Dilate+1)) );
erode(imgBiner, imgBiner, getStructuringElement(MORPH_RECT, Size(2*Erode+1,
2*Erode+1)) );
medianBlur(imgBiner, imgBiner, 2*GB2+1);
vector<vector<Point>> contours;
vector<Vec4i> hierarchy;
Mat imgBiner2 = imgBiner.clone();
findContours( imgBiner2, contours, hierarchy, CV_RETR_EXTERNAL,
CV_CHAIN_APPROX_NONE, Point(0, 0) );
Mat drawing = Mat::zeros( imgBiner2.size(), CV_8UC3 );
for (int i = 0; i< contours.size(); i++)
{ Scalar color = Scalar( 255,255,255);
drawContours( drawing, contours, i, color, 2 );
}
vector<Point> ConvexHullPoints = contoursConvexHull(contours);
polylines( drawing, ConvexHullPoints, true, Scalar(0,0,255), 2 );
imshow("Contours", drawing);
polylines( imgAsli, ConvexHullPoints, true, Scalar(0,0,255), 2 );
imshow("contoursConvexHull", src);
namedWindow("Biner 1", WINDOW_NORMAL);
namedWindow("Biner 2", WINDOW_NORMAL);
namedWindow("Asli", WINDOW_NORMAL);
resizeWindow("Asli", 480,320);
resizeWindow("Biner 1", 480,320);
resizeWindow("Biner 2", 480,320);
imshow("Asli", imgAsli);
imshow("Biner 1", imgBiner);
imshow("Biner 2", drawing);

```

```

}
void trackbar(){
createTrackbar("H_Min", "Control", &H_Min, 179, onTrackbar); //Hue (0 -
179)
createTrackbar("H_Max", "Control", &H_Max, 179, onTrackbar);
createTrackbar("S_Min", "Control", &S_Min, 255, onTrackbar); //Saturation
(0 - 255)
createTrackbar("S_Max", "Control", &S_Max, 255, onTrackbar);
createTrackbar("V_Min", "Control", &V_Min, 255, onTrackbar); //Value (0 -
255)
createTrackbar("V_Max", "Control", &V_Max, 255, onTrackbar);
createTrackbar("Erode", "Control", &Erode, 50, onTrackbar); //Value (0 -
255)
createTrackbar("Dilate", "Control", &Dilate, 50, onTrackbar);
createTrackbar("GB1", "Control", &GB1, 50, onTrackbar); //Value (0 - 255)
createTrackbar("GB2", "Control", &GB2, 50, onTrackbar);
}
int main( int argc, char** argv )
{
if ( argc != 2 ){
printf("usage: DisplaytempImagege.out <tempImagege_Path>\n");
return -1;
}
namedWindow("Control", WINDOW_NORMAL);
trackbar();
tempImage = argv;
onTrackbar(0, 0);
waitKey(0)==!27;
return 0;
}

```



## BIODATA PENULIS



Penulis lahir pada tanggal 7 Agustus 1995 di Tangerang, Banten, anak pertama dari pasangan Sohib Romdhoni dan Luluk Alifah. Pendidikan yang ditempuh antara lain TK Al-Fathir, Tangerang (2000-2001), lalu melanjutkan ke SDN Sukasari 4 Tangerang (2001-2004), lalu pindah ke SDN Baureno 1, Bojonegoro (2004-2007), kemudian ke SMP Plus Ar-Rahmat Bojonegoro (2007-2010), selanjutnya penulis melanjutkan ke SMA Negeri Model Terpadu Bojonegoro (2010-2013). Penulis kemudian melanjutkan pendidikan ke perguruan tinggi di Insitut Teknologi Sepuluh Nopember, Departemen Teknik Sistem Perkapalan (2013-2017). Selama menjadi mahasiswa di ITS, penulis aktif dalam kegiatan UKM Maritime Challenge (2013), Marine Technology and Innovation Club (2014), LDJ Al-Mi'raj Teknik Sistem Perkapalan (2014), Tim Barunastra Roboboat ITS (2014-2016), UKM Robotika ITS (2015), dan Asisten Laboratorium Marine Electrical and Automation System (2016-2017) pada praktikum dasar digital dan *Automatic Change Over Switch*. Sebagai anggota tim Barunastra Roboboat ITS yang bekerja di bidang *programming* khususnya mengenai pengolahan citra, penulis bersama dengan tim, berpartisipasi dalam lomba KKCTBN (2014) di Universitas Indonesia, Deconbotion (2015) di Universitas Diponegoro, dan 9<sup>th</sup> AUVSI Roboboat Competition (2016) di Virginia Beach, VA, USA. Tim termasuk penulis mendapatkan penghargaan *Best Design* pada KKCTBN, Juara 1 pada Deconbotion, Juara 3 dan penghargaan *Savitsky Award* pada 9<sup>th</sup> AUVSI Roboboat Competition.